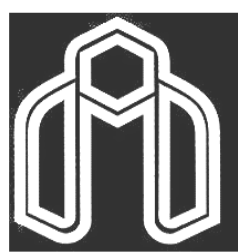


بِسْمِ اللّٰهِ الرَّحْمٰنِ الرَّحِيْمِ



دانشگاه صنعتی شاهرود

دانشکده شیمی

پایان نامه کارشناسی ارشد شیمی آلی

سنتر مشتقات جدید تیازولو [٤،٢،١] - [٣-٢،٥] تری آزین با استفاده از
کاتالیزگر پالادیم - مس

نگارش:

سمیرا میهن پرست

اساتید راهنما :

دکتر محمد باخرد

دکتر علی کیوانلو

استاد مشاور:

دکتر حسین نصر اصفهانی

آبان ۱۳۸۷

حمد و ستایش

خداآوند مذان (ا که لطفیش

مرا به این صراط راهنمایی کرد

و گرمش موجب توفيقم شد.

چه شگفت آور است گذر زندگی از هزاران پیچ و خم زمان، هر بار که در پایان می‌ایستی شروعی دیگر در پیش روی می‌بینی و چون بیش بنگری زندگی همیشه در آغاز است. در این پایان نه تنها این اوراق مکتوب بلکه شیرین ترین لحظات زندگیم را تقدیم می‌دارم:

به مهربان مادرم

وزین ترین کلام در دیباچه، هستی من، به پاس سال‌های صبوریش، که نه تنها اندیشه‌ها را به من آموخت بلکه اندیشیدن را نیز از او آموختم.

همسر عزیزم؛ حسام

به پاس صبرش، حمایتش و یاریش
امید تا بتوانم محبت هایش را جبران کنم.

و برادر دلسوژم؛ وحید

که حضورش الهامی پیوسته و جاری برای دانش اندوزیم بود.

و تقدیم به همه آنان که

به من آموختند

و خواهند آموخت.

تقدیر و سپاس از:

استاد بزرگوارم **جناب آقای دکتر محمد باخره** که علاوه بر تحقیق و پژوهش با نظرات ارزنده و مدبرانه خود بهتر فکر کردن، بهتر زندگی کردن و بهتر بودن را به من آموختند.

استاد ارجمند **جناب آقای دکتر علی کیوانلو** که با راهنمایی‌های ارزنده شان من را در جهت انجام هر چه بهتر این پروژه هدایت کردند.

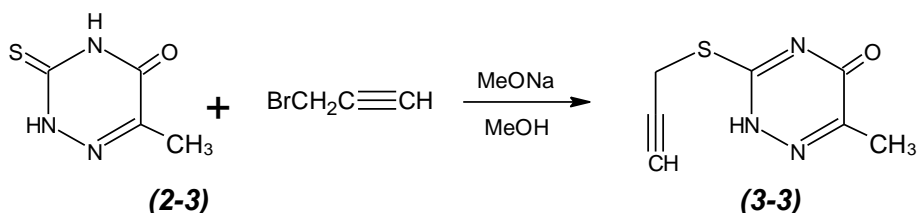
استاد گرامی **جناب آقای دکتر حسین نصر اصفهانی** که از هرگونه تلاش در جهت رفع مشکلات اینجانب دریغ نکردند.

تمامی دوستان عزیزم و آقایان : قربانیان و مهندس کلی و سرکارخانم جعفری که با زحمات بی دریغ من را همراهی نمودند تشکر می نمایم.

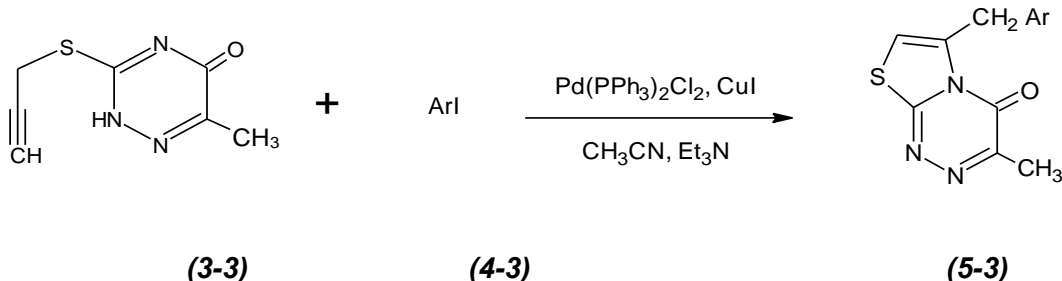
چکیده

در این تحقیق، روشی برای سنتز مشتقات جدیدی از تیازولو [4,2,1][C-2,3] تری آزین‌ها با استفاده از کاتالیزگر پالادیم-مس گزارش شده است.

برای تهیه مشتقات تیازولو [4,2,1][C-2,3] تری آزین‌ها از 6-متیل-4,2,1-تری آزین-5-اون-3-تیون (2-3) استفاده شد. این ترکیب با پروپارژیل برミد در متوكسید سدیم ترکیب 6-متیل-3-پروپارژیل تیو-1,2,4-تری آزین-5-اون (3) را تولید کرد.



از واکنش ترکیب (3-3) با مشتقهای آریل یدید (4-4) در حضور کاتالیزگرهای بیس (تری فنیل فسفین) پالادیم (II) کلرید و یدید مس (I) در حلول استو نیتریل و باز تری اتیل آمین، در شرایط اتمسفر آرگون و دمای اتاق، مشتقهای مختلف تیازولو [2,3-**C**]تری آزین های (5-3) سنتز شدند.



آسانی روش ، شرایط ملایم و بهره‌ی بالا از جمله ویژگی‌های این روش می‌باشد.

فهرست مطالب

صفحه	عنوان
	چکیده

فصل اول: شیمی تیازولو - 1,2,4 – تری آزین ها

1	- 1 – 1
2	- 2 – 1

فصل دوم : واکنش جفت شدن کربن – کربن با کاتالیزگر پالادیم

17	- 2 – 1
----	-------	---------

فصل سوم : بحث و بررسی نتایج

25	3 – بحث و بررسی نتایج
25	3 – 1 – سنتز ناحیه گزین مشتقات 6 – بنزیل تیازولو [2,1,3]تری آزین
29	3 – 2 – بررسی جهت گیری بسته شدن حلقه

3 - 3 مکانیسم واکنش 32

3 - 4 شواهد طیفی ترکیبات سنتز شده 33

فصل چهارم: بخش تجربی

4 - 1 روش تهیه آریل پدیدهای 37

4 - 2 روش تهیه بیس (تری فنیل فسفین) پالادیم (II) کلرید 37

4 - 3 روش تهیه 6 - متیل - 1، 2، 4 - تری آزین - 5 - اون - 3 - نیون 38

4 - 4 روش تهیه 6 - متیل - 3 - پروپارژیل نیو - 1، 2، 4 - تری آزین - 5 - اون 38

4 - 5 روش تهیه مشتقات 6 - بنزیل - 4H - تیازولو [2، 1، 4] تری آزین - 4 - اون 38

4 - 41 مراجع

ضمیمه

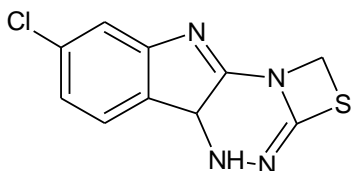
43 دستگاه های استفاده شده

44 طیف های UV, IR, ¹HNMR

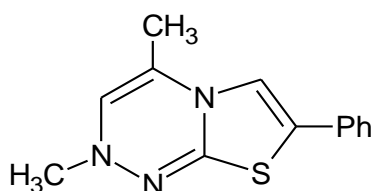
شیمی تیازولو - 1، 2، 4 - تری آزین ها

۱ - مقدمه

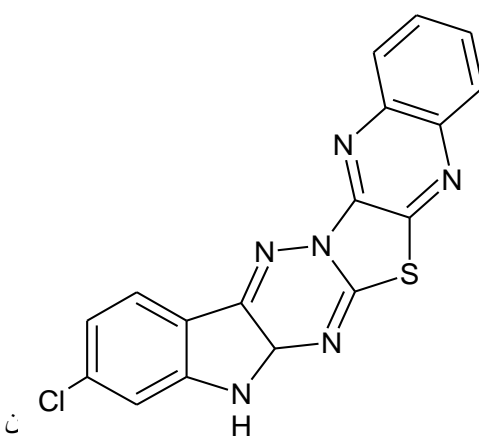
ترکیبات ناجور حلقه‌ی مشتق شده از تیازولو-۱،۲،۴-تریآزین از دو جنبه شیمیایی و کاربردی جالب توجه هستند. محققین نشان داده‌اند، این ترکیبات دارای خواص بیولوژیکی و دارویی نظیر ضد باکتری [۱]، ضد حساسیت [۲]، ضد قارچ [۳] و بسیاری خواص دارویی دیگر بوده که به تعدادی از آن‌ها اشاره می‌کنیم.



ضد میکروب [۱]

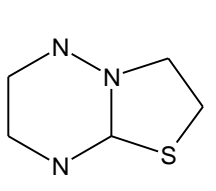


داروی ضد حساسیت [۲]

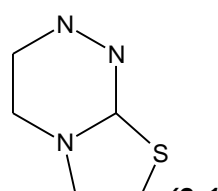


ضد قارچ [۳]

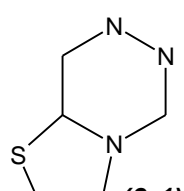
برای سنتز سیستم‌های دو حلقه‌ای تیازولو-۱،۲،۴-تریآزین می‌توار استفاده کرد. تیازولو-۱،۲،۴-تریآزین‌ها دارای ساختار‌های متنوعی از تیازولو[۲،۳،۲][۴،۲،۱] تریآزین (۲-۱)، تیازولو[۳،۲،۱][d-۲،۳،۲][۴،۲،۱] تریآزین (۳-۱) و تیازولو[۳،۲،۱][d-۲،۳،۲][۴،۲،۱] تریآزین (۴-۱) می‌باشند.



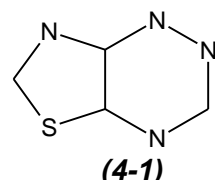
(۱-۱)



(۲-۱)



(۳-۱)



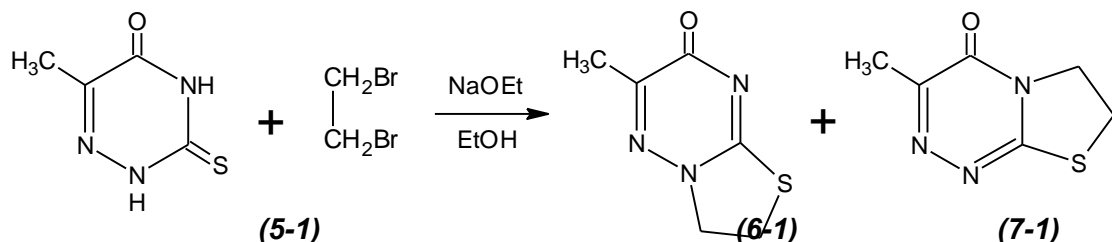
(۴-۱)

ابتدا به تاریخچه و روش‌های سنتزی تیازولو-۱،۲،۴-تریآزین‌ها، تیازولو-۳،۲،۱-تریآزین‌ها، تیازولو-۳،۲،۱[b-۲،۳،۲][۴،۲،۱] تریآزین‌ها و تیازولو[۳،۲،۱][d-۲،۳،۲][۴،۲،۱] تریآزین‌ها می‌پردازیم.

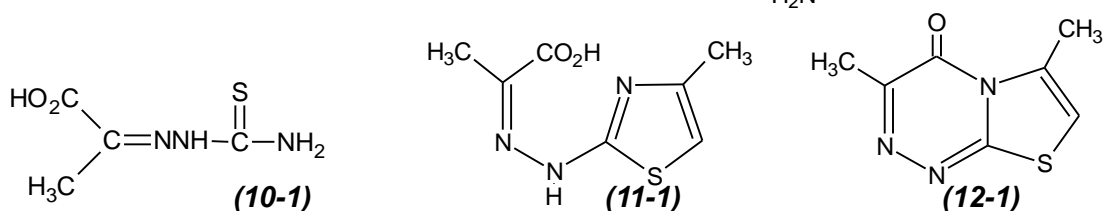
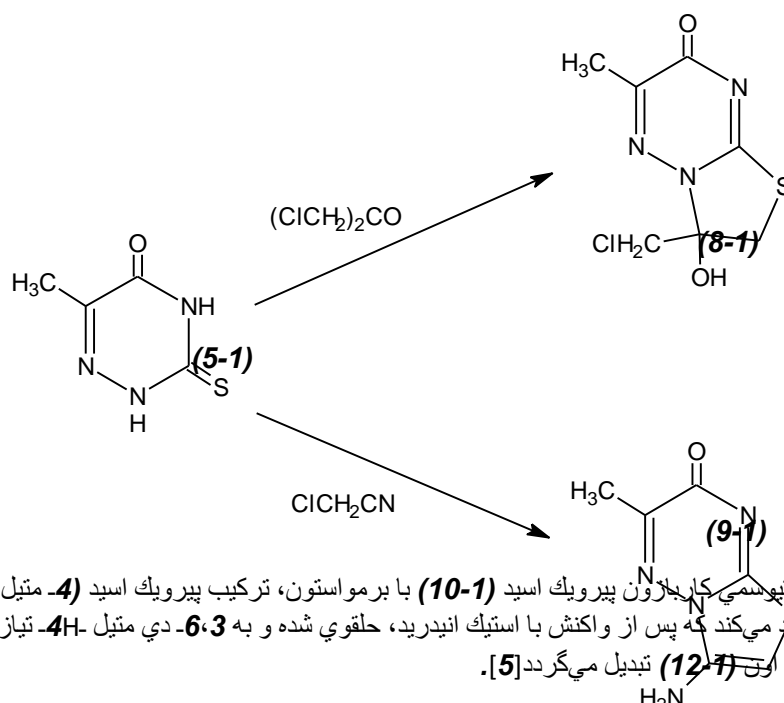
۲ - روش‌های سنتزی تیازولو-۱،۲،۴-تریآزین‌ها

در سال ۱۹۶۸، واکنش ۶-متیل-۱،۲،۴-تریآزین-۵-اون-۳-تیون (۵-۱) با ۲،۱-دی‌برمواتان در محیط قلیایی مورد بررسی قرار گرفت. محصول واکنش مخلوطی از دو ساختار ایزومری ۳،۲-دی‌هیدرو-۶-متیل-۷H-تیازولو[۳،۲،۱][b-۲،۳،۲] تیازولو-۷H-۶-متیل-۳،۲،۱[b-۲،۳،۲][۴،۲،۱] تریآزین (۷-۱) می‌باشد.

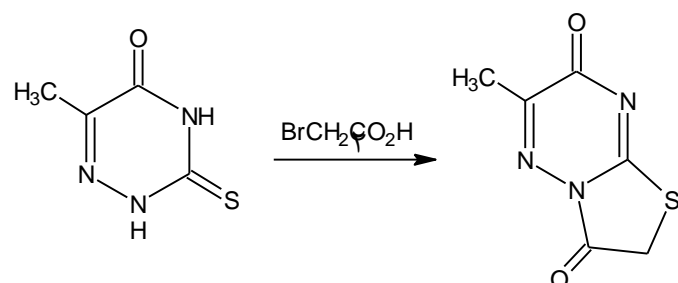
[4] تری‌آزین-7-اون (6-1) و 7،6-دی‌هیدرو-3-متیل-4H-تیازولو[c-3,2-]تری‌آزین 4-اون (7-1)، به نسبت 60 به 40 می‌باشد [4,5].



واکنش ترکیب (5-1) با 1،3-دی‌کلرواستون و کلرواستونیتریل به ترتیب 2،3-دی‌هیدرو-3-کلرومتیل-3-هیدروکسی-6-متیل-7H-تیازولو[4,2,1][b-2,3]تری‌آزین-7H-اون (8-1) و 3-آمینو-6-متیل-7H-تیازولو[4,2,1]تری‌آزین-7H-اون (9-1) را ایجاد می‌کند [5].



در سال 1969، ترکیب 6-متیل-7H-تیازولو[4,2,1][b-2,3]تری‌آزین-7H-3-دی‌اون (13-1) از واکنش حلقوی شدن ترکیب (5-1) با برمواستیک اسید در حضور سدیم اتوکسید به دست آمد [6].

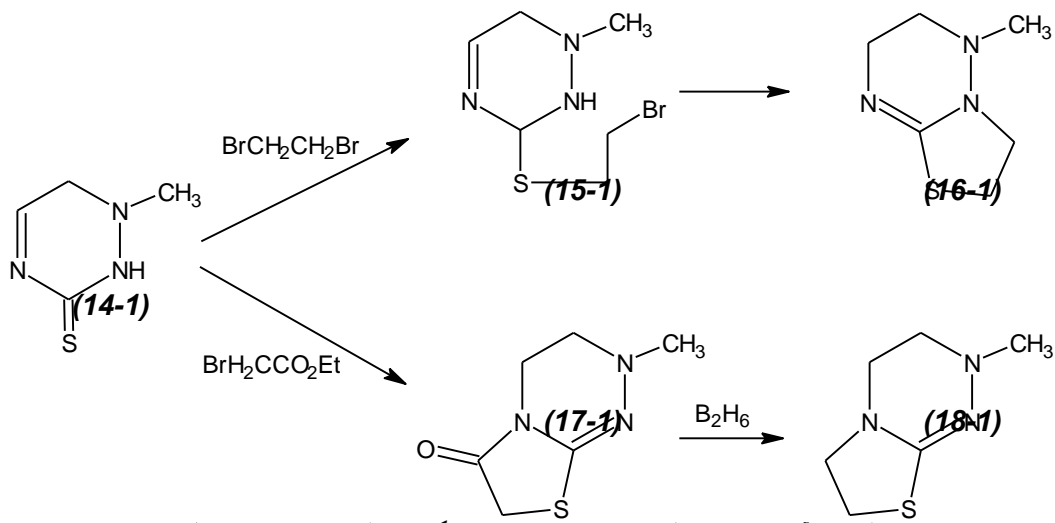


(5-1)

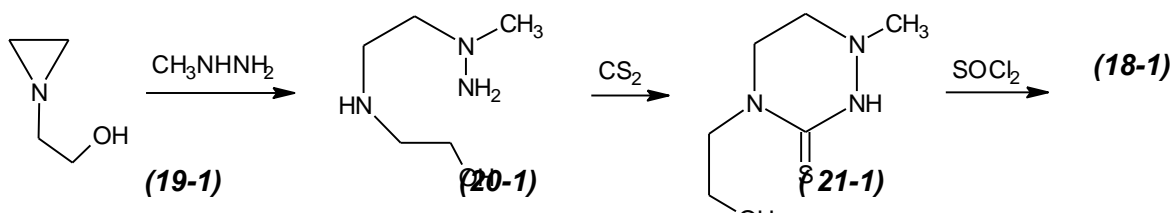
(13-1)

در سال 1970، واکنش تتر اهیدرو - 1 - متیل - 4،2،1 - تری آزین - 3 (14-1) با اتیلن دی برمید و اتیل برمو استات انجام شد و تفاوت در جهتگیری حلقوی شدن آن مورد بررسی قرار گرفت [7].

وقتی تری آزین (14-1) با اتیلن دی برمید واکنش می دهد، 5 - متیل - 3،6،4،3 - تتر اهیدرو - 5H - تیازولو [b-2,3] 4,2,1 (16-1) از طریق واسطه هی 3 - (β - برمو اتیل تیو) - 1 - متیل - 6,5,4,1 - تتر اهیدرو - 4,2,1 (15-1) تشکیل می گردد. در صورتی که تری آزین (14-1) با اتیل برمو استات وارد واکنش شود، تغییر در جهتگیری بسته شدن حلقه اتفاق افتاده، و 4,2,1 - دی هیدرو - 2 - متیل - 2H - تیازولو [c-3,2] 4,2,1 (17-1) تری آزین - 6 (7H) - اون (17-1) تولید می شود. این ترکیب به وسیله کاهش با دی بوران به 2 - متیل - 3،6،4،3 - تتر اهیدرو - 2H - تیازولو [c-3,2] 4,2,1 (17-1) تری آزین می تبدیل می گردد.

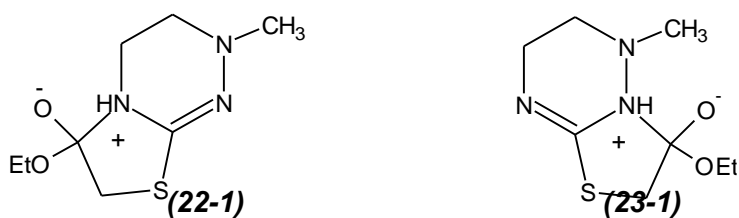


جهت اثبات ساختار تیازولو تری آزین های تشکیل شده و تعیین نوع جهتگیری حلقوی شدن، 2 - متیل - 7,6,4,3 - تتر اهیدرو - 2H - تیازولو [c-3,2] 4,2,1 (18-1) با یک روش مشخص از N - β - هیدروکسی اتیل) - از پریدین (19-1) و متیل هیدرازین سنتز شد. در این روش، هیدرازینو اتیل آمینو اتانول (20-1) به دست آمده در واکنش با کربن دی سولفید به 6,5,4,3 - تتر اهیدرو - 4 - (2 - هیدروکسی اتیل) - 1 - متیل - 4,2,1 - تری آزین - 3 (2H) - تیون (21-1) تبدیل می شود. این ترکیب در حضور تیونیل کلرید حلقوی شده و تیازولو [c-3,2] 4,2,1 (18-1) را به دست می دهد.



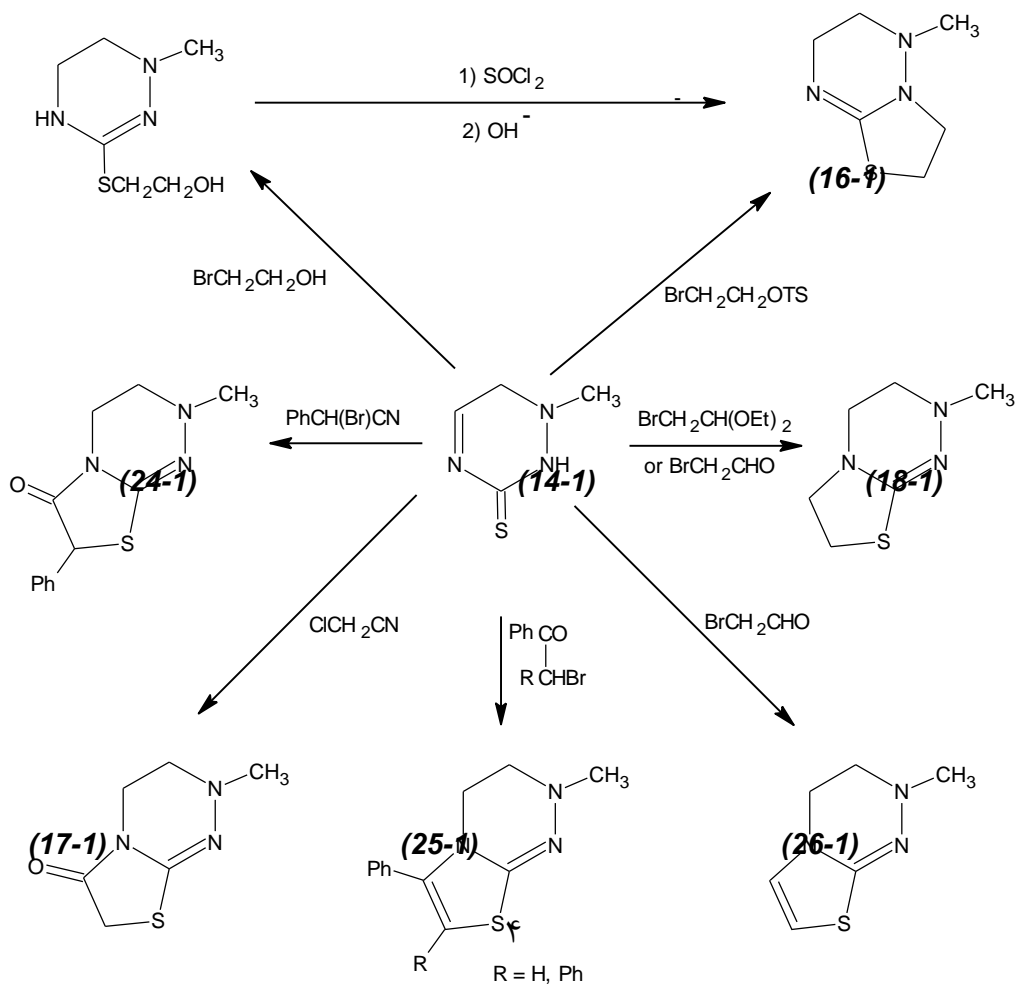
جهتگیری حلقوی شدن در واکنش با اتیلن دی برمید، براساس حمله $\text{S}_{\text{N}}2$ اتم نیتروژن بر روی کربن تترادرال توجیه می شود، در اینجا قدرت نسبی نوکلوفیل های N-2 و N-4 تعیین کننده است. ولی در مورد واکنش با اتیل برمو استات که حمله اتم نیتروژن بر روی کربن تری گونال انجام می گیرد، پایداری واسطه هی تترادرالی تشکیل شده مهم بوده که به انرژی نسبی واسطه های - 1 -

(22) و (23-1) بستگی دارد. به دلیل همپوشانی جفت غیرپیوندی N-C=N با سیستم π پیوند C=N، واسطه‌ی (22-1) انرژی کمتری دارد و این مزدوچ شدن مانع از تشکیل واسطه‌ی (23-1) می‌گردد [7].



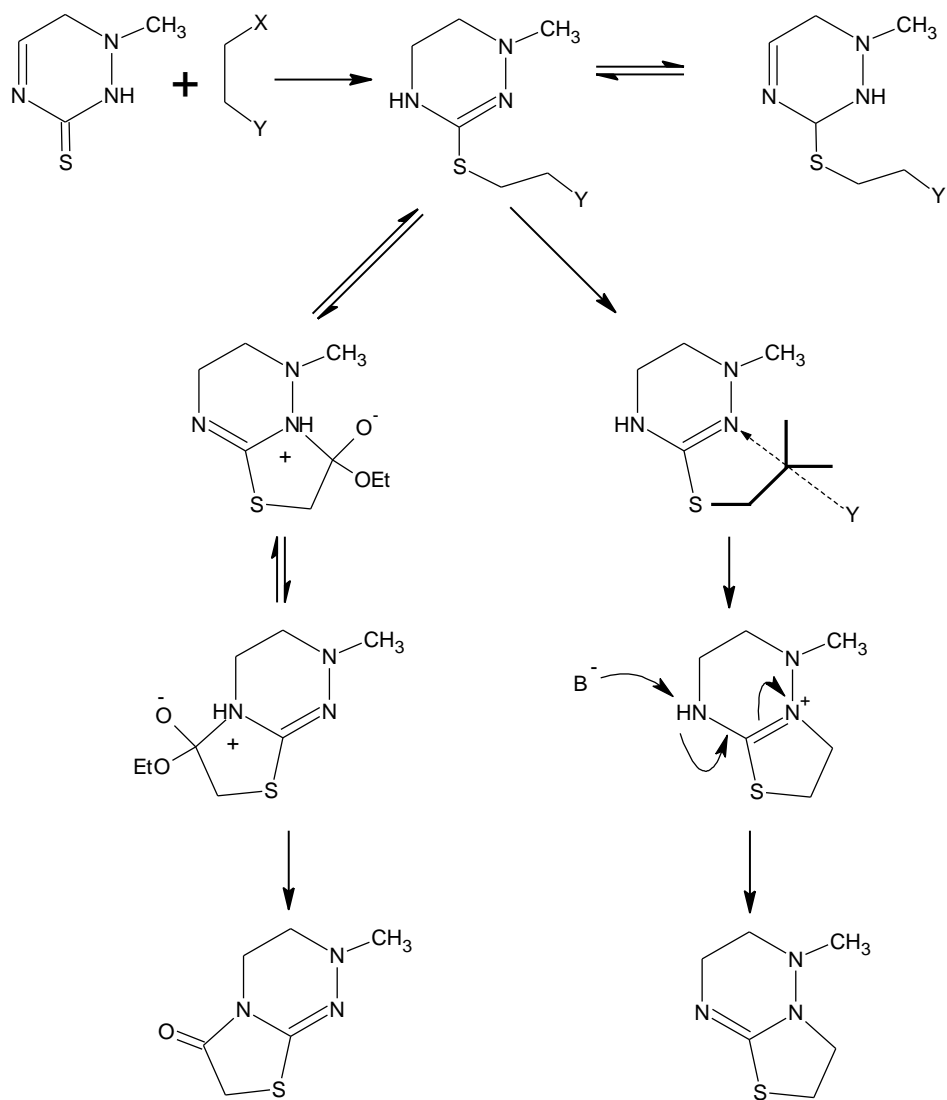
به دنبال آن در سال 1971 واکنش تراهیدرو تریآزین (14-1) با ترکیبات α ، β -دو عاملی دیگر نظیر α -برمواتیل p -تولوئن سولفونات، برمواستالدینید، α -برموفنیل استالدینید، فناسیل برمید، کلرواستونیتریل، α -برموفنیل استونیتریل طبق طرح (1-1) مورد مطالعه قرار گرفت [8].

نتایج به دست آمده نشان می‌دهد اگر ترکیب α ، β -دو عاملی، دارای یک عامل با کربن SP^2 و عامل دیگر با کربن SP^3 و یا SP باشد، در واکنش با تریآزین تیون (14-1)، ابتدا اتم گوگرد تریآزین به کربن SP^3 حمله می‌کند و سپس اگر هیبرید کربن ترکیب دو عاملی نیز از نوع SP^3 باشد، بسته شدن حلقه از طریق 2-N صورت گرفته و 5H-تیازولو [4,2,1]b-2,3-تریآزین‌های (16-1) تشکیل می‌شود.



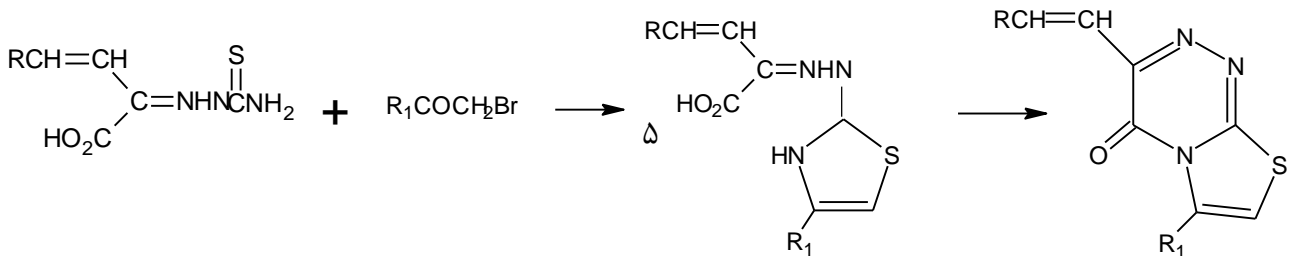
(طرح 1 - 1)

ولی اگر کربن ترکیب دو عاملی، هیبرید SP^2 یا SP داشته باشد، بسته شدن حلقه از طریق **4**-*N*-انجام شده و محصول واکنش، **2H**-**2** تیازولو[*c*-*3,2-1,4,2,1-18,1-17,1-1*]تریآزین های (**25-24,1-18,1-17,1-1**) میباشد. این نتایج در طرح (1-1) نشان داده شده است [8].



(طرح 2 - 1)

در سال 1980، تیازولوتیریآزین های جدیدی از واکنش مشتقات تیوسومی کاربازون پپرویل اسید (**27-1**) با α -هالوکتون های (**28-1**) تهیه شد. وقتی ترکیب (**27-1**) با α -هالوکتون ها وارد واکنش میگردد، ابتدا تیازولیل هیدرازون های (**29-1**) تولید میشود که در اثر حلقه شدن به تیازولو [*c*-*3,2-1,4,2,1-18,1-17,1-1*]تریآزین های (**30-1**) تبدیل میگرد [9].



R = 3 - IC₆H₄, PhCH=CH

Δ : $MgCl_2$

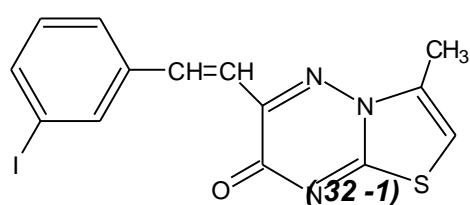
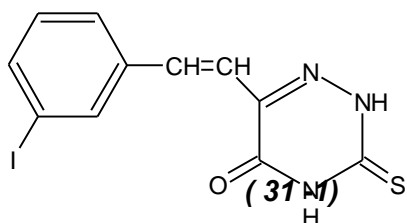
(27-1)

(28-1)

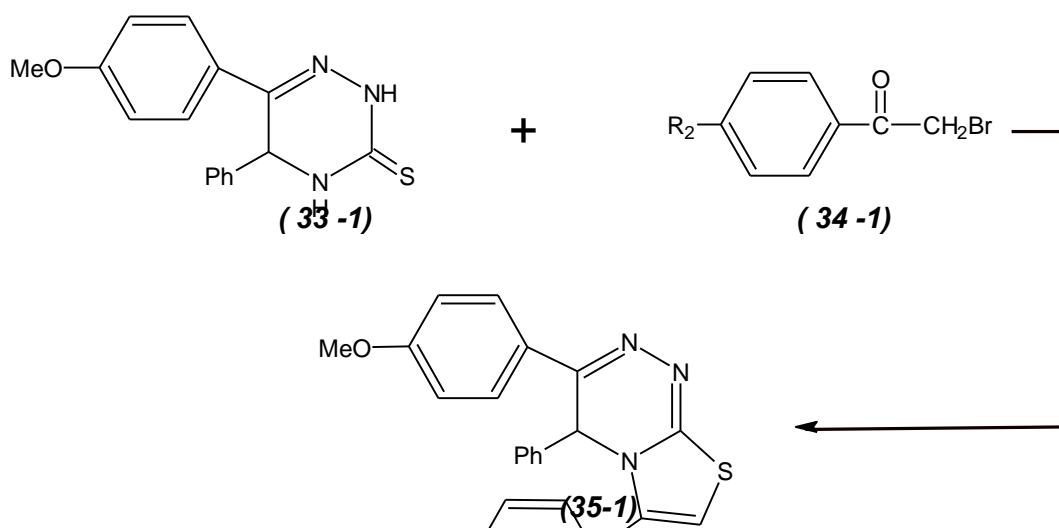
(29-1)

(30-1)

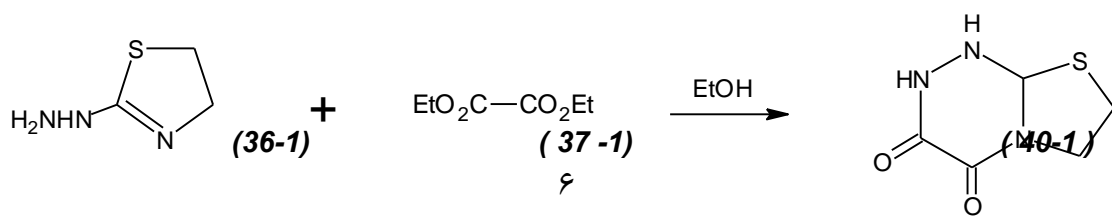
ولی اگر ترکیب (27-1) ($R=3\text{-IC}_6\text{H}_4$) به تنهایی حلقوی شود، تریآزین-3-تیون (31-1) را ایجاد کرده که در واکنش با برمواستون به تیازولو [b-2·3] تریآزین (32-1) تبدیل می‌گردد.



همچنین واکنش تریآزینتیون (33-1) با α -هالوکتون های آروماتیک (34-1) منجر به تشکیل تیازولو [c-3,2] تریآزین های (35-1) می‌گردد [15].



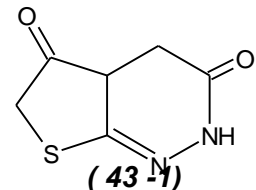
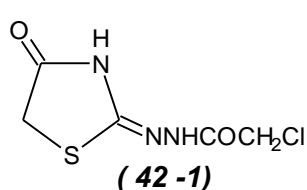
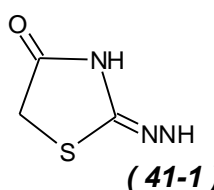
در سال 1981، ترکیب 7·6 - دی هیدرو - 2H - تیازولو [4,3-c] [3,2] R₂MePOMe - واکنش 2 - هیدرازینو - 2 - تیازولین (36-1) با اتیل اکسالات (37-1) یا اتیل اکسامات (38-1) در اتانول تهیه شد. هنگامی که از اتیل اکسالات استفاده می‌شود، ابتدا هیدرازید (39-1) تولید شده که در مرحله بعد توسط سدیم اتوکسید حلقوی می‌گردد [11].



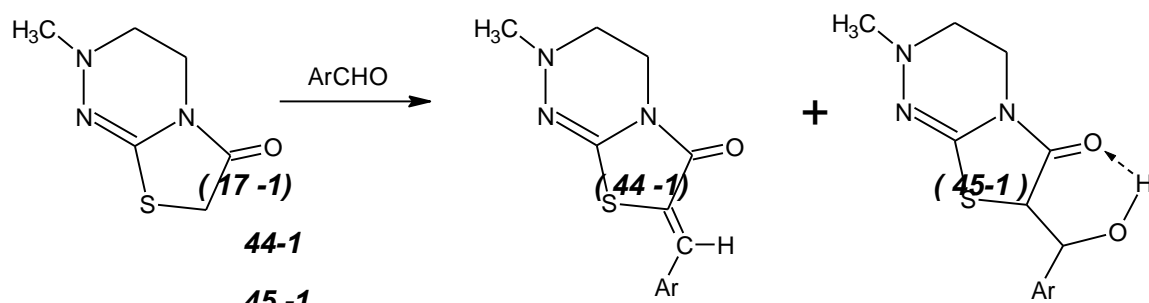
(38-1)

(39-1)

تیازولیدون (41-1) که از واکنش تیوسومی کاربازید با کلرواستیک آنیدرید به وجود می‌آید، در تراکم مجدد با کلروانیدرید استیک در حضور سدیم استات به مشتق 2-کلرو استیل آن (42-1) تبدیل می‌گردد. این ترکیب در اثر حرارت حلقوی شده و به تیازولو[۳,۳-۲]تری‌آزین (43-1) تبدیل می‌شود [12].

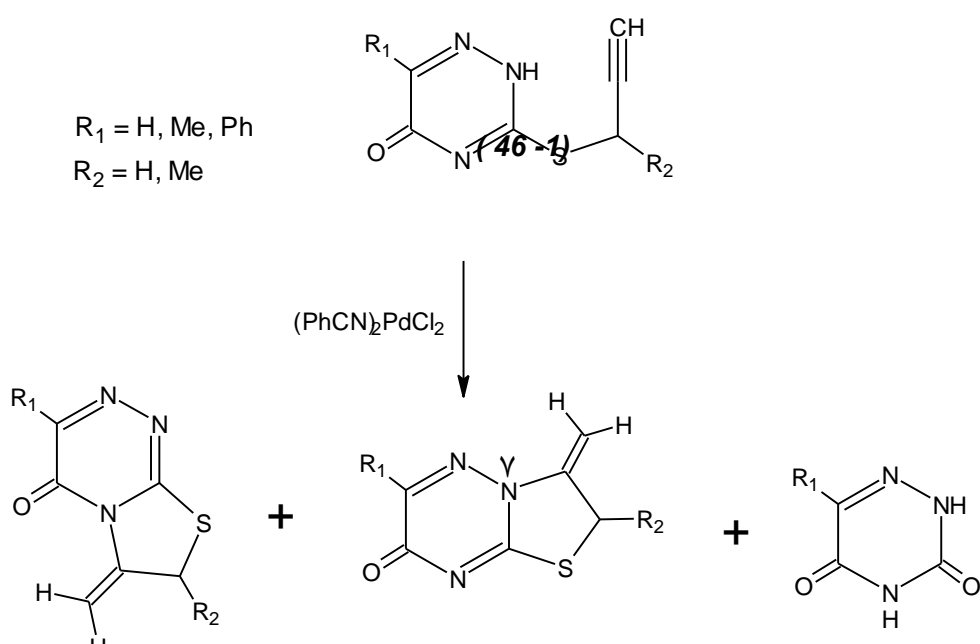


همچنین تیازولو[۳,۳-۲]تری‌آزین (17-1) در واکنش با آلدئیدهای آروماتیک مختلف مانند ۴،۵-دی‌کلروبنزن‌آلدئید، ۳،۴-متوكسی‌بنزن‌آلدئید، ایندول-۳-کربوکسالئید، و پیریدین کربوکسیل‌آلدئید، به مشتقات ۷-آریلیدن مربوطه (44-1) تبدیل می‌شود. در برخی موارد واسطه‌ی آبگیری نشده‌ی α -هیدروکسی‌بنزیل (45-1) نیز جداسازی می‌گردد. در این مورد سرعت آبگیری به دلیل وجود پیوند هیدروژنی درون مولکولی، بین اکسیژن آمیدی و گروه هیدروکسیل، آهسته است [13].



در سال ۱۹۸۶، واکنش‌های حلقوی شدن مشتقات ۳-پروپارژیل تیو-۴،۲،۱-تری‌آزین ۵-اون (46-1) به $\text{Ar}(\text{C}_6\text{H}_4\text{O}_2\text{MeO})_2$ یا ۲-Pyridyl، 4-Pyridyl، 3-Pyridyl، ۴،۵-Indolyl، ۳،۴-C₆H₃-C₆H₄-C₆H₃-Ar و ۱۵-کاتالیزگرهای پالادیم (II) و کاتالیزگرهای پالادیم (III) و کاتالیزگرهای پالادیم (IV) مطالعه قرار گرفت [14] و [15].

واکنش کاتالیز شده با بیس (بنزوئیل‌نیتریل) پالادیم (II) کلاید (47-1) [c-3,2]-۴،۲،۱-تری‌آزین ۷H-۳-متیلن-۲-هیدرو-۷-تیازولو[۴,۲،۱][b-2،۳]تری‌آزین-۴-اون (48-1) را به عنوان محصول اصلی همراه با مقادیر کمی از ۳-متیلن-۲H-۳-دی‌هیدرو-۷H-تیازولو[۴,۲،۱][b-2،۳]تری‌آزین-۷-اون (49-1) و محصول پروپارژیل زدا شده‌ی (49-1) را تولید می‌کند.

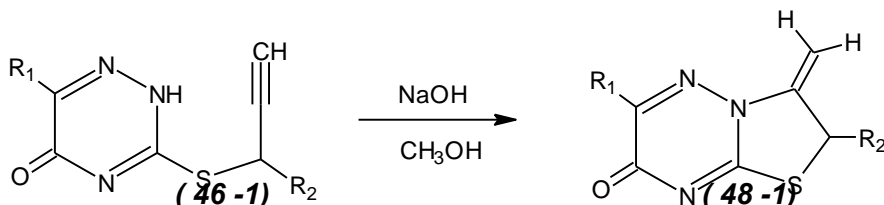


(47-1)

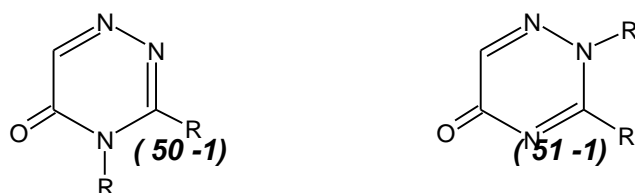
(48-1)

(49-1)

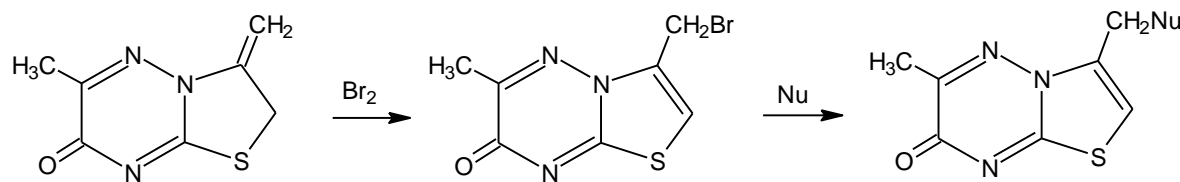
استخلاف متیل در R_2 سرعت واکنش را افزایش و مقدار محصول (49-1) را کاهش می‌دهد. این رفتار مربوط به اثرات فضایی R_2 در نزدیک کردن گروه پروپارژیل به اتم نیتروژن 4 و تسهیل در فرآیند حلقوی شدن است، واکنش در حضور مقادیر کمی از باز (NaH یا NaOH) فقط 3 - متیلن - 3 - دی هیدرو - 7H - تیازولو [4,2,1] [b] 7 اون (48-1) را به عنوان تنها محصول واکنش تولید می‌کند.



تمایز ساختارهای (47-1) و (48-1) بطور دقیق به وسیله مقایسه طیفهای $^1\text{HNMR}$ ¹ و UV آن‌ها امکان‌پذیر است. در طیف $^1\text{HNMR}$ ترکیب (47-1)، پروتون متیلن اگزو¹ که نسبت به گروه کربونیل سین² است حدود 1/26-1/37 ppm در میدان پانین‌تری نسبت به پروتون آنتی³ رزونانس می‌کند، در صورتی که اختلاف بین دو نوع پروتون متیلن اگزو در ساختار (48-1) نسبتاً کوچک (0/48-0/74 ppm) است. طیف UV مشتقات 1, 2, 4, 5 - تری‌آزین - 4H (4H) - اون‌های استخلاف شده در موقعیت‌های 3 و 4 (50-1) جذب مکریم (λ_{max}) را در طول موج‌های بلندتری در مقایسه با 1, 2, 4, 5 - تری‌آزین - 5 (2H) - اون‌های استخلاف شده در موقعیت‌های 2 و 3 (51-1) نشان می‌دهند [14 و 15].



3 - دی هیدرو - 3 - متیلن - 6 - متیل تیازولو [3,2,1] [b] 4,2,1] تری‌آزین (52-1) در واکنش با مقدار اضافی برم، به 3 - برمومتیل - 6 - متیل تیازولو [3,2,1] [b] 4,2,1] تری‌آزین - 7 - اون (53-1) تبدیل می‌شود. این ترکیب با نوکلوفیل‌هایی مانند مورفولین و دی‌اتیل‌آمین واکنش داده و به راحتی گروه نوکلوفیل جانشین اتم برم می‌گردد. محصول واکنش تیازولو تری‌آزین‌های (54-1) می‌باشد [16].

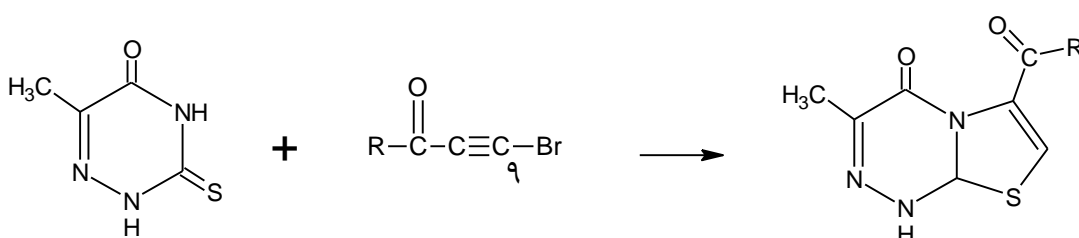
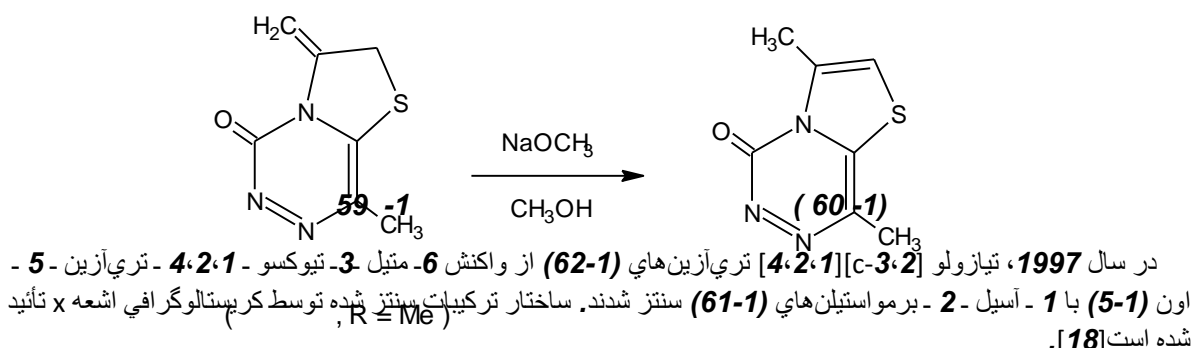
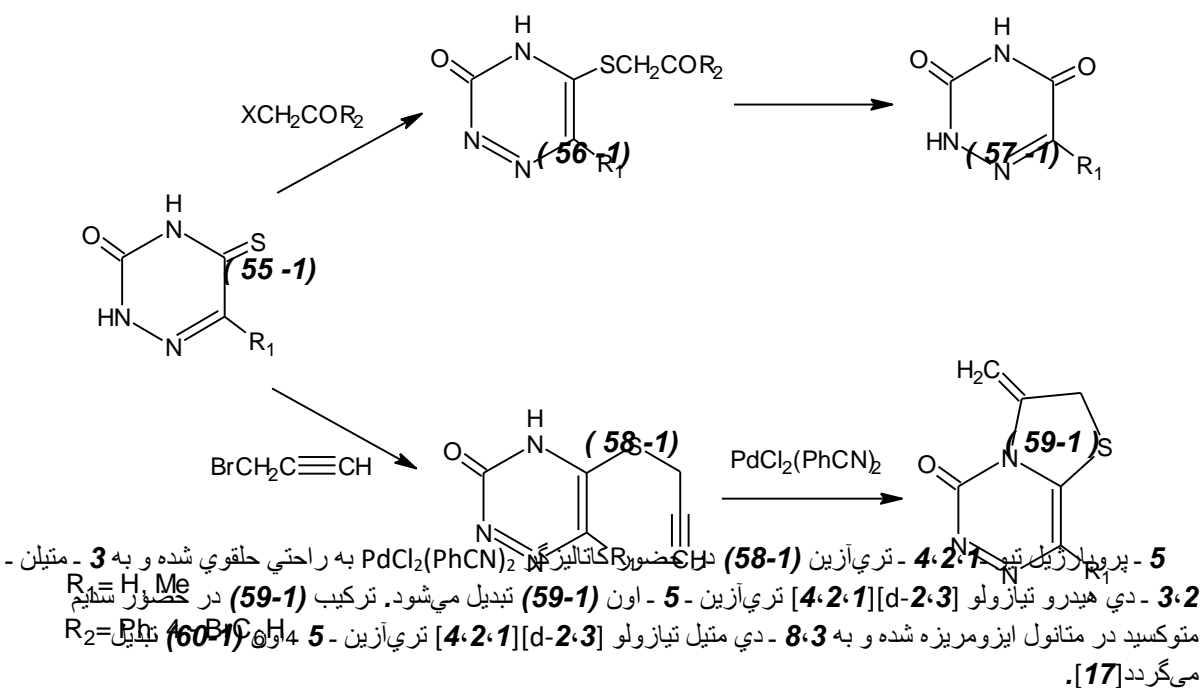
¹ - exo² $\text{N}^\delta \text{syn}$ morpholin, diethylamin³ - anti

(52 -1)

(53-1)

(54 -1)

سال 1995 سنتز سیستم جدید تیازولو [4,2,1][d-2,3] تری آزین، با استفاده از واکنش مشتقاتی از 5-تیوكسو-4-دی هیدرو-2,1,4-تری آزین-3 (55-1) با α -هالوکتون ها و پروپارژیل برمید صورت گرفت [17]. واکنش ترکیب (55-1) با α -هالوکتون ها، مشتقات 5-سولفانیل مربوطه (56-1) را ایجاد می کند. این ترکیب در واکنش با اسیدها و بازها، عمل حلقوی شدن را انجام نمی دهد و به جای آن، هیدرولیز یا جایگزینی نوکلوفیلی صورت گرفته و محصول واکنش 4,2,1-تری آزین-5,3 (57-1) می باشد. این نتایج نشان می دهد که موقعیت 5 در 4,2,1-تری آزین ها بسیار مستعد هیدرولیز است.



$R = \text{Ph}, 2\text{-thienyl}$

(5-1)

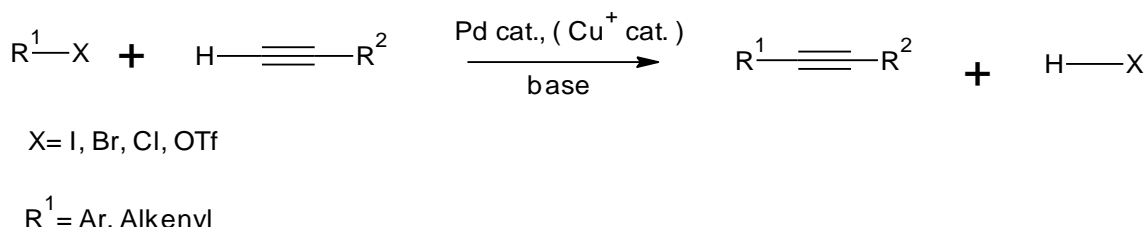
(61-1)

(62-1)

واکنش جفت شدن کربن - کربن با کاتالیزگر پالادیم

۲ - ۱ - واکنش سونوگاشیرا^۴

اولین بار در سال ۱۹۷۵، کنکیچی سونوگاشیرا^۱ و هاگیهارا^۵ جفت شدن بین یک الکین انتهایی را با آریل هالیدها و وینیل هالیدها انجام دادند که بعدها به نام جفت شدن سونوگاشیرا^۶ نامیده شد [۱۹].



کاتالیزگرهای مورد استفاده در این واکنش کمپلکس پالادیم صفر و نمک هالید مس (I) می باشند. در این واکنش از کمپلکس پالادیم - فسفین نظیر تراکیس (تری فنیل فسفین) پالادیم استفاده می شود ولی اغلب،

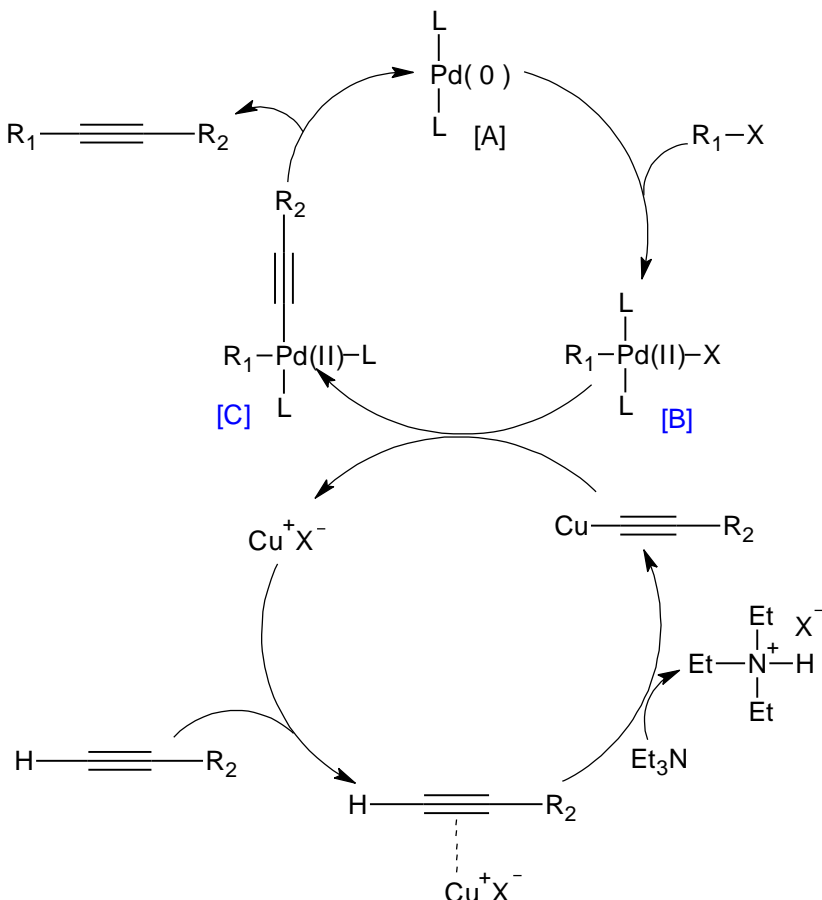
^۱ - Sonogashira reaction

^۲ - Kenkichi Sonogashira and Hagihara

^۳ - Sonogashira coupling

کمپلکس های پالادیم (II) در دسترس می باشند که در واکنش از طریق مصرف الکین انتهایی به پالادیم صفر کاهش می یابند. خنثی کردن هیدروژن هالید که محصول جانبی واکنش می باشد نیاز به حضور بازهایی نظری تری اتیل آمین دارد که گاهی به عنوان حلal واکنش نیز مورد استفاده قرار می گیرد. واکنش جفت شدن سونوگاشیرا، در جوختنی انجام می شود که برای جلوگیری از اکسید شدن کمپلکس پالادیم صفر می باشد.

مکانیسم واکنش سونوگاشیرا در حضور کاتالیزگر کمکی مس (I) به طور دقیق مشخص نیست. اما یک چرخه پالادیم - مس مشاهده می شود که در طرح (۱ - ۲) نشان داده شده است [۲۰].

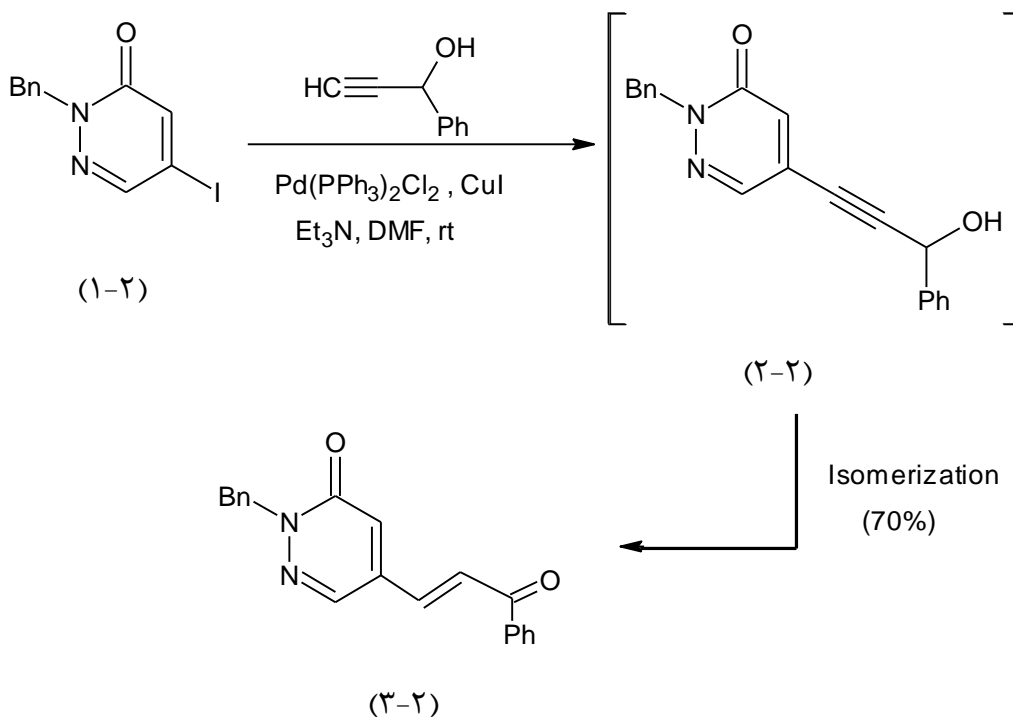


$X = I, Br, Cl, OTf$

$R_1 = Ar$

(۱ - ۲) طرح

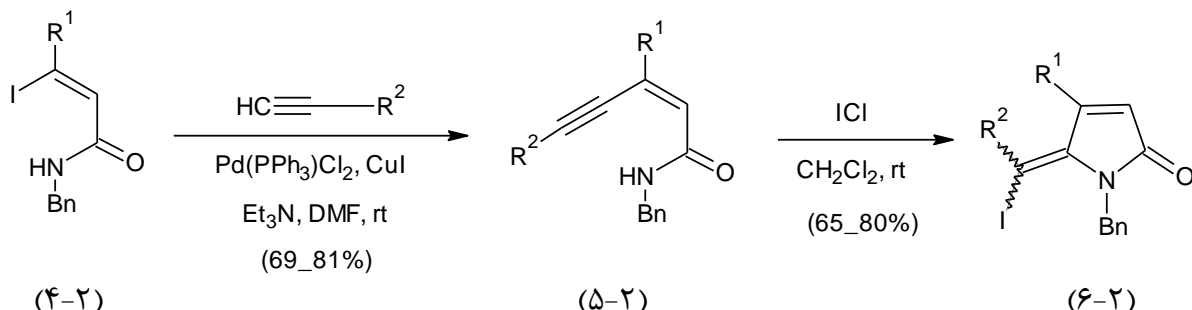
در چرخه پالادیم ابتدا کاتالیزگر فعال پالادیم صفر [A] در عمل تداخل با آریل هالید یا تریفلات طی فرایند «افزایش اکسایشی»^۷ به پالادیم (II) تبدیل شده و کمپلکس [B] به دست می آید. کمپلکس به دست آمده با استیلیدمیس که در چرخه مس تولید می شود وارد واکنش شده و کمپلکس [C] را ایجاد می کند. در نهایت محصول واکنش طی فرایند «حذف کاهشی»^۸ با تولید پالادیم صفر جداسازی می گردد [۲۰]. از واکنش ۵ - یدوپیریدازین - ۳ (۲ H) با ۱ - فنیل پروپ - ۲ - این - ۱ - ال در حضور کاتالیزگر بیس (تری فنیل فسفین) پالادیم (II) کلرید و یدید مس (I) و بازتری اتیل آمین در دی متیل فرمامید، طی واکنش جفت شدن سونوگاشیرا دردمای اتاق واسطه‌ی (۳-۲) ایجاد شده که در مرحله بعد به محصول نهایی (۳-۲) طی فرایند ایزومر شدن تبدیل می شود [۲۱].



^۱- oxidative addition

^۲- Reductive elimination

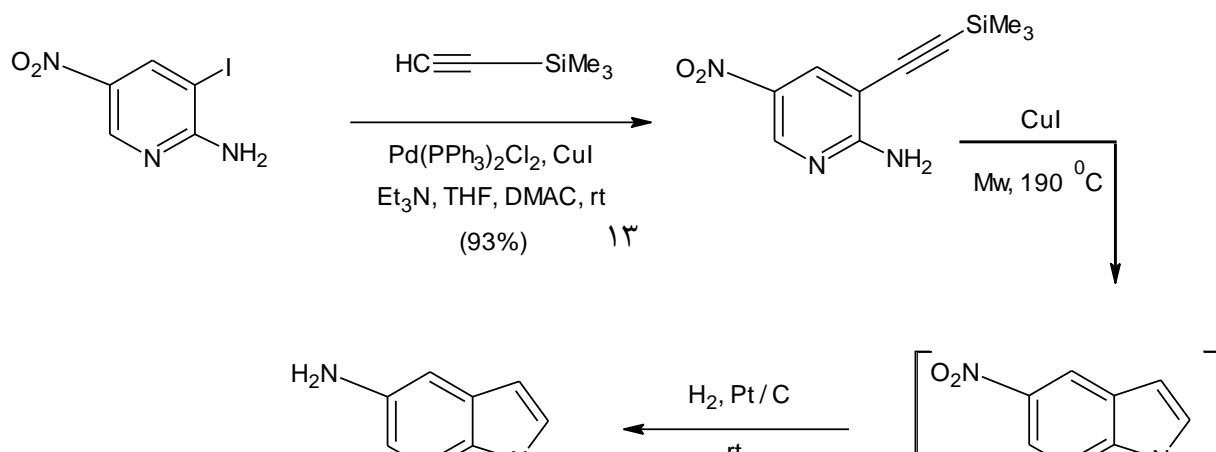
در سال ۲۰۰۴، سنتز تعدادی از مشتقات پیرول از طریق واکنش سونوگاشیرا مورد بررسی قرار گرفت [۲۲]. از واکنش ۳-یدو دی ان آمید (۴-۲) با الکین انتهایی در حضور کاتالیزگر بیس (تری فنیل فسفین) پالادیم (II) کلرید و یدید مس (I)، محصول (۵-۲) ایجاد شد که در حضور یدو منوکلرید محصول نهایی (۶-۲) به شکل مخلوطی از E/Z تولید شد.



$\text{R}^1 = \text{H}, \text{Me}, \text{Ph}$

$\text{R}^2 = \text{Ph}, \text{Me}_2\text{Si}, (\text{CH}_2)_3\text{OH}$

در روش دیگر از واکنش بین یدوپیریدین (۷-۲) با الکین انتهایی تحت شرایط سونوگاشیرا محصول (۸-۲) ایجاد شد [۲۳]. این ترکیب در حضور کاتالیزگر یدید مس (I) و تحت تابش مایکروویو به واسطه‌ی نیترو آزا ایندول (۹-۲) تبدیل شده و سپس در حضور کاتالیزگر پلاتین - کربن فرایند هیدروژن دارشدن را انجام داده و به ترکیب ۵-آمینو ۷-آزا ایندول (۱۰-۲) تبدیل می‌شود. واسطه‌ی (۹-۲) جهت سنتز مواد ضد سرطان در داروسازی کاربرد دارد.



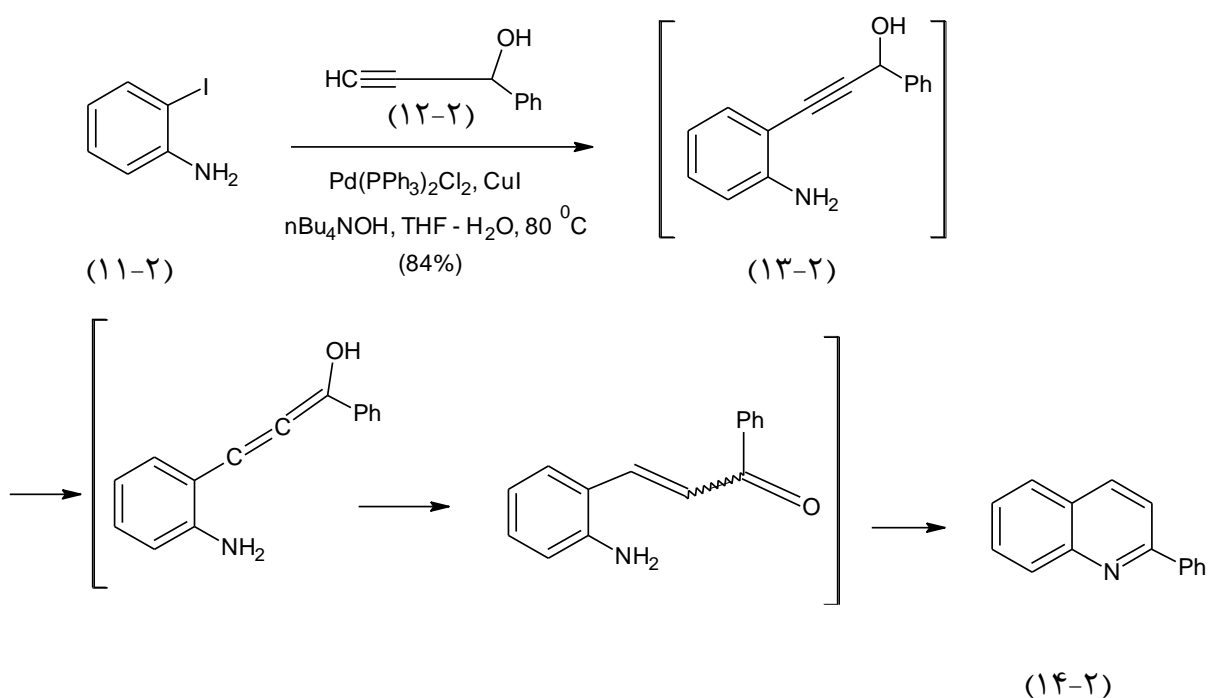
(٧-٢)

(٨-٢)

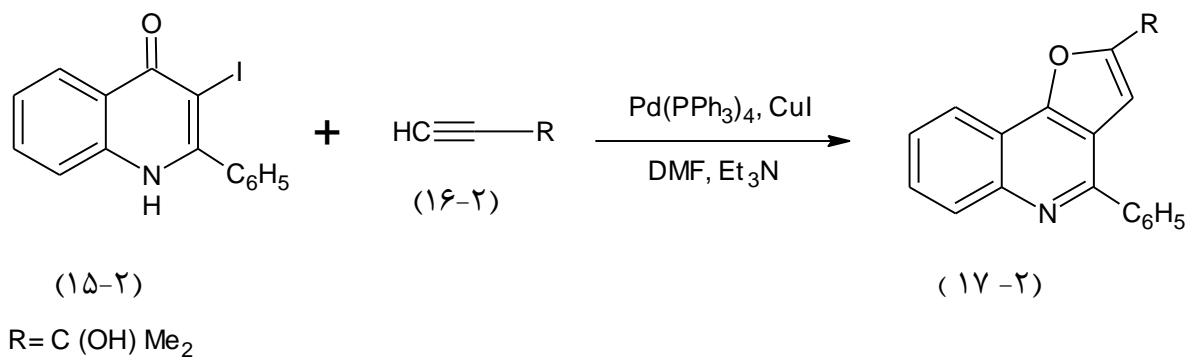
(٩-٢)

(١٠-٢)

۲- یدو آنیلین (۱۱-۲) با پروپارژیل الکلی نظیر (۱۲-۲) تحت شرایط سونوگاشیرا و در حضور تترا-بوتیل آمونیوم هیدروکسید آبی، ۲- آریل کینولین (۱۴-۲) را طبق مراحل زیر ایجاد می کند [۲۴].

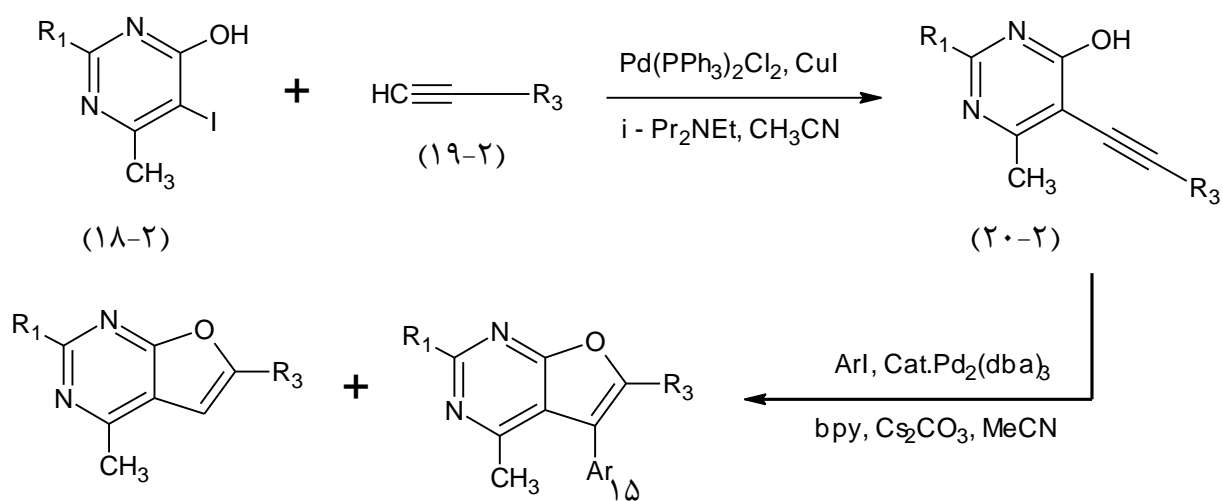


در سال ۲۰۰۶ از واکنش ۳- یدو - ۲- فنیل کینولین - ۴- اون (۱۵-۲) با الکین انتهایی (۱۶-۲) در حضور کاتالیزگر تتراکیس (تری فنیل فسفین) پالادیم ویدیدمس (I) محصول (۱۷-۲) که مشتقی از فورو [۳، ۲- c] کینولین ها می باشد، تهیه شد [۲۵].



مشتقات فوروکینولین ها دارای خواص بیولوژیکی مانند ضد باکتری، ضد ویروس و همچنین دارای فعالیت ضد تجمع پلاکت های خون می باشد که در داروسازی مورد توجه قرار می گیرد.

در سال ۲۰۰۷، تهیه مشتقات ۵، ۶ - دو استخلافی فورو [۳، ۲ - d] پیریمیدین ها تحت شرایط واکنش سونوگاشیرا صورت گرفت [۲۶]. در این واکنش ابتدا ترکیب (۱۸-۲) با مشتقات الکین انتهایی (۱۹-۲) واکنش جفت شدن را انجام داده و به مشتقات الکینیل پیریمیدینول (۲۰-۲) تبدیل می شود. سپس این ترکیب در حضور آریل یدیدهای مختلف با انجام واکنش جفت شدن سونوگاشیرا محصولات (۲۱-۲) و (۲۲-۲) را تولید می کند.



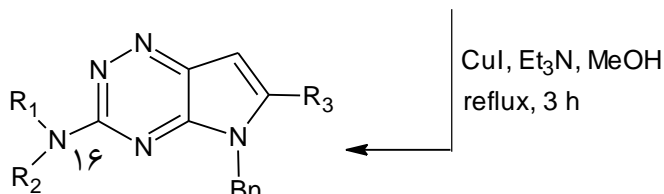
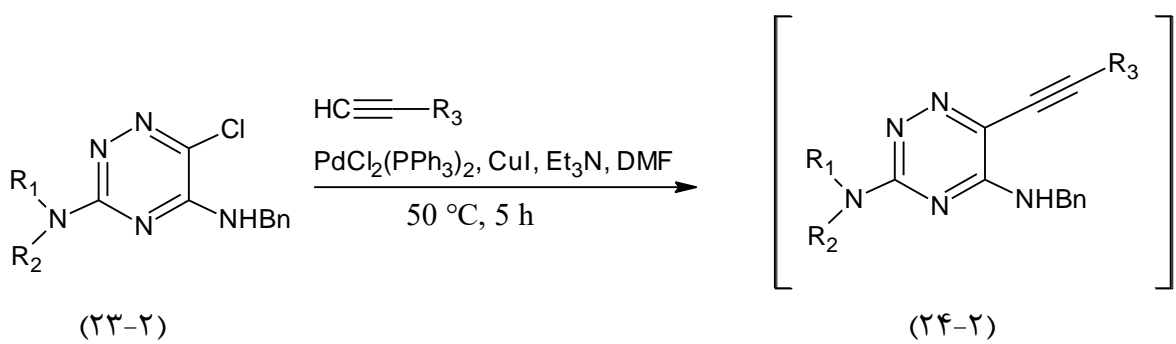
$R_1 = \text{Me, Ph}$

$R_3 = \text{P-Tolyl, 2-Fluorophenyl, 4-Methoxyphenyl}$

(۲۲-۲)

(۲۱-۲)

حضور سزیم کربنات به عنوان بازملایم باعث افزایش درصد محصول (۲۱-۲) می شود. همچنین مشتقات آریلی که دارای گروه دهنده ای الکترون می باشند مانند ۱-یدو ۴-متوكسی بنزن درصد محصول (۲۱-۲) در آن ها بیشتر شده و مشتقات آریلی که دارای گروه کشنده ای الکترون همانند متیل ۴-یدو بنزووات می باشند، درصد محصول (۲۱-۲) را کاهش و احتمال تشکیل محصول (۲۲-۲) را افزایش می دهند. در روش دیگری مشتقات مختلفی از ۳-آمینو ۵-H-پیرولو [۲،۳-د] [۱،۲،۴] تری آزین (۲۲-۲)، در اثر واکنش جفت شدن ترکیب (۲۳-۲) با الکین های انتهایی در حضور کاتالیزگر بیس (تری فنیل فسفین) پالادیم (II) کلرید و یدید مس (I) در حلal دی متیل فرمامید و باز تری اتیل آمین طبق مراحل زیر تهیه گردید [۲۷]. در این واکنش ترکیب (۲۴-۲) به عنوان حد واسط تشکیل شده که در محلول تری اتیل آمین، متanol و در حضور یدید مس (I) به ترکیب (۲۵-۲) تبدیل می گردد.



$R_1 = H, CH_3$

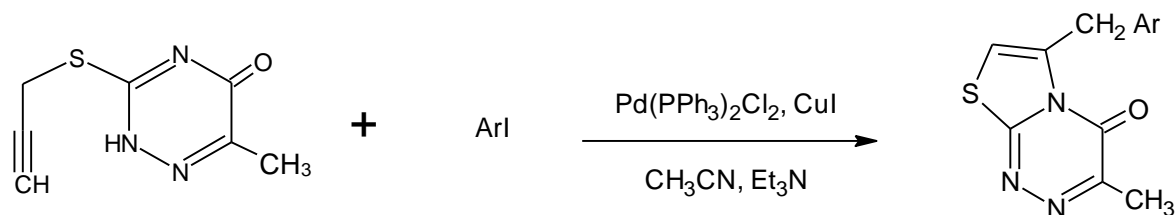
$R_2 = Bn, Ph, 4\text{-MeO-}Ph, Cyclopropyl$

$R_3 = Propyl, SiMe_3, Ph, CH_2\text{-}N(Me)_2$

(۲۵-۲)

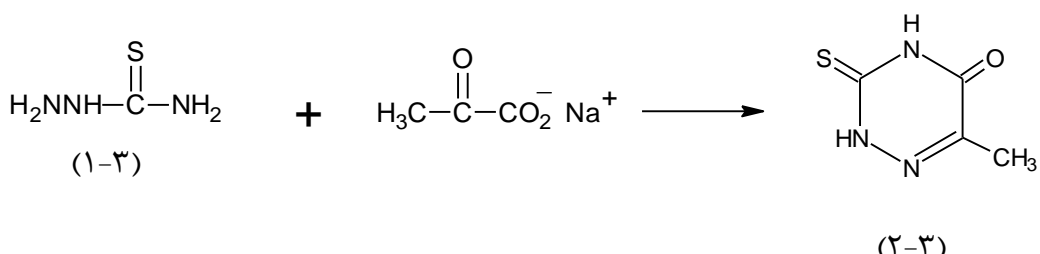
۳- بحث و بررسی نتایج

با توجه به اثرات بیولوژیکی مهم ترکیبات ناجور حلقه‌ی تیازولوترازین‌ها و نقش بسیار مهم آن‌ها در صنایع داروسازی، تصمیم گرفته شد مشتقه‌ای جدیدی از ۶-بنزیل تیازولو[۳،۲،۱]۴-تری‌آزین-ها با روش ساده و بازده بالا در شرایط ملایم با استفاده از واکنش جفت شدن سونوگاشیرا سنتز گردد.

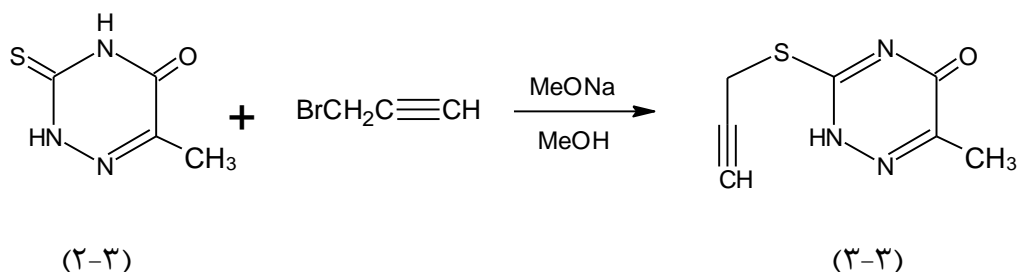


۳-۱- سنتز ناحیه‌گزین مشتقه‌ای ۶-بنزیل تیازولو[۳،۲،۱]۴-تری‌آزین

ابتدا از واکنش تیوسومی کاربازید (۱-۳) و پیرووات سدیم در محیط آبی، ۶-متیل-۱،۲،۴-تری‌آزین-۵-اون-۳-تیون (۲-۳) به دست آمد [۲۸].



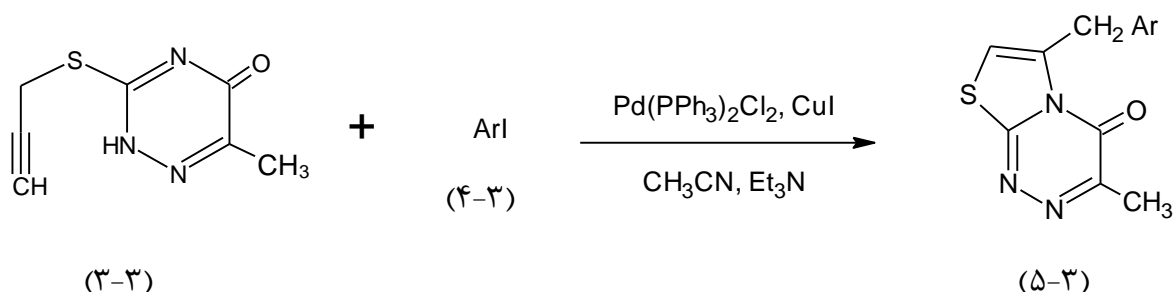
تری‌آزین به دست آمده (۲-۳) در واکنش با پروپارژیل برمید در متوكسید سدیم به ۶-متیل-۳-پروپارژیل تیو-۱،۲،۴-تری‌آزین-۵-اون (۳-۳) با دمای ذوب ۱۸۱°C و بهره‌ی واکنش ۸۰٪ تهیه شد.



طیف $^1\text{HNMR}$ ترکیب (۳-۳) که در حلحل DMSO دوتره گرفته شده است، پیک یکتاپی در $\delta 2/3$ مربوط به پروتون های گروه متیل، پیک یکتاپی در $\delta 3/1$ مربوط به هیدروژن استیلنی و پیک یکتاپی در $\delta 3/8$ مربوط به پروتون های متیلن و یک پیک یکتاپی مربوط به پروتون NH حلقه تری آزین در $\delta 13/8$ را نشان می دهد (طیف شماره ۱).

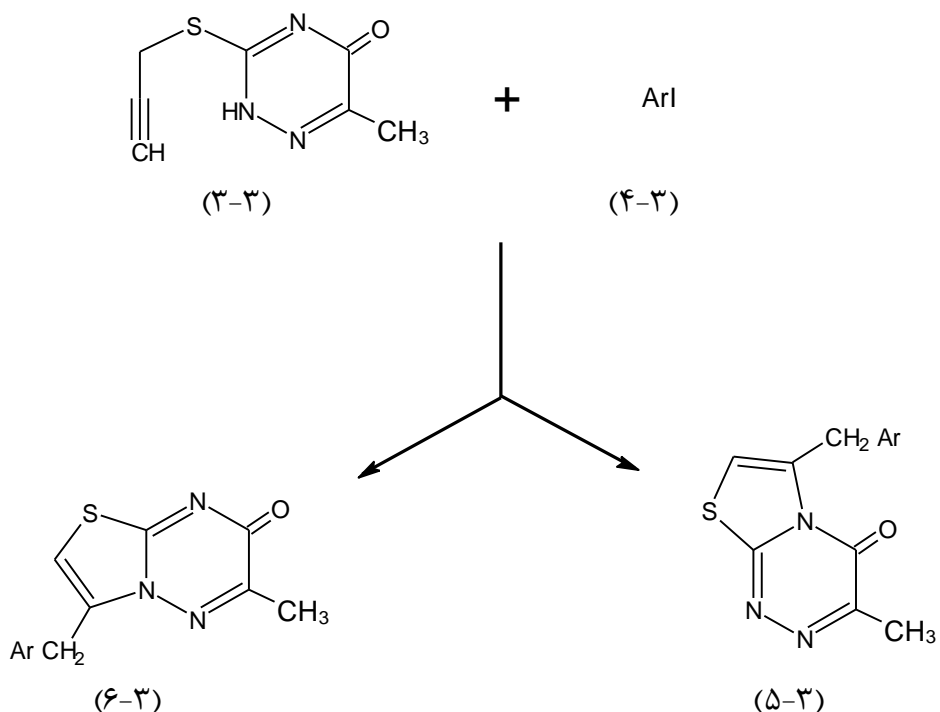
طیف IR این ترکیب که در قرص KBr گرفته شده، جذب مربوط به کربونیل آمیدی را در ناحیه 1620Cm^{-1} و پیک های جذبی کششی استیلنی را در 2100 و 3200Cm^{-1} نشان می دهد (طیف شماره ۲).

از واکنش پروپارژیل تیووتری آزین (۳-۳) با آریل یدید های (۴-۳) در حضور کاتالیزگر بیس (تری فنیل فسفین) پالادیم (II) کلرید و یدید مس (I) در حلحل استونیتریل و بازتری اتیل آمین دردمای اتاق مشتقات ۶-بنزیل تیازولو [۲، ۳ - ۱، ۴] تری آزین (۵-۳) با بهره های بالا ایجاد شد.



افزایش N-۲ یا N-۴ تری آزین به پیوند سه گانه، منجر به دو جهت گیری متفاوت در بسته شدن حلقه می شود. در هنگام حلقوی شدن، احتمال تشکیل دو محصول یعنی مشتقات ۶-بنزیل - ۴H - ۴-تیازولو [۲، ۳] تری آزین.

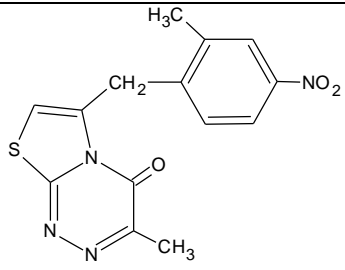
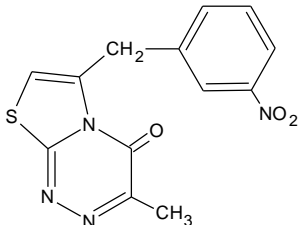
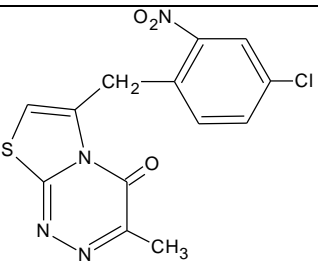
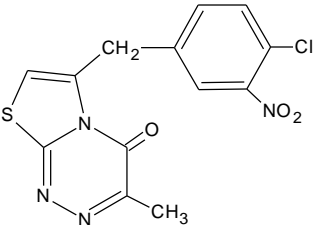
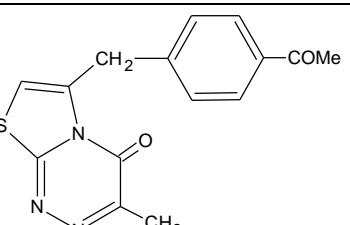
[۴، ۲، ۱] [b - ۳، ۲] تری آزین - ۴ - اون (۵-۳) و یا مشتقات ۳ - بنزیل - ۷H - تیازولو [۳، ۲، ۱] [c - ۴، ۲] تری آزین - ۷ - اون (۶-۳) وجود دارد.



بررسی های طیفی، ساختار مشتق [۲، ۳ - ۴] [c - ۳، ۲، ۱] تری آزین (۵-۳) را اثبات کرده و نشان می دهد که این واکنش ها ناحیه گزین می باشند. جدول (۳-۱) خواص فیزیکی و بهره ای واکنش را برای مشتقات سنتز شده نشان می دهد.

جدول (۳-۱) بهره ای واکنش و خواص فیزیکی مشتقات ۶ - بنزیل تیازولو [۳، ۲، ۱] [c - ۴، ۲، ۱] تری آزین های سنتز شده (۵-۳)

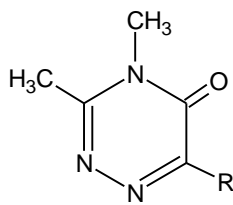
ترکیب	ساختار	بهره ای واکنش (%)	دماهی ذوب (°C)	حلال تبلور
-------	--------	-------------------	----------------	------------

اتانول	۲۵۵	۹۳		(Δ-۳)a
متانول	۲۶۲	۸۵		(Δ-۳)b
اتانول	۲۴۸	۸۵		(Δ-۳)c
متانول	۲۳۷	۸۲		(Δ-۳)d
متانول	۲۵۹	۷۰		(Δ-۳)e

۳ - ۲ - بررسی جهت گیری بسته شدن حلقه:

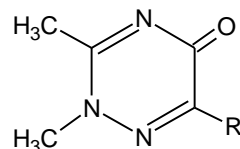
در شیمی تیازولوتربی آزین ها یکی از روش های متداول و قابل اطمینان برای تشخیص ساختارهای ایزومری که در آرایش پیوندهای π با هم تفاوت دارند، استفاده از طیف سنجی فرابنفش و مقایسه مشخصات طیف ساختارهای ایزومری با یکدیگر است. به خوبی شناخته شده است که ترکیبات ۱، ۲، ۴ - تری آزین - ۵ UV

– اون های استخلاف شده در موقعیت های ۳، ۴ (۷-۳) جذب ماقزیم را در طول موج- های بالاتری نسبت به ترکیبات مشابه استخلاف شده در موقعیت های ۲، ۳ (۸-۳) نشان می دهند [۲۹].



(7-3)

247



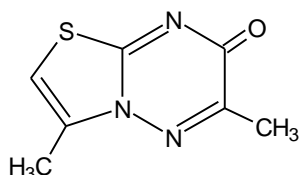
(8-3)

217

$\lambda_{\max} = \text{nm}$

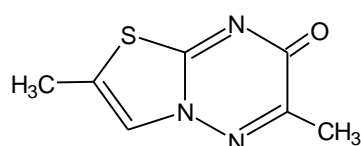
$\lambda_{\max} = \text{nm}$

همین موضوع در مورد تیازولوتري آزین ها نيز صادق است [29]. بنابراین برای تعیین جهت گیری واکنش و تشخیص ساختار ترکیبات سنتر شده، می توان طیف UV مخصوصات واکنش را با طیف UV ترکیبات (9-3)، (10-3)، (11-3) که به طور دقیق مشخص شده است، مقایسه کرد. ۳، ۶ – دی متیل و ۲، ۶ – دی متیل – ۷H – تیازولو [۲، ۱، ۳] تری آزین – ۷ اون های (9-3) و (10-3) جذب ماقزیم را در حلول متناول به ترتیب در طول موج های ۲۸۰ nm و ۲۸۲ nm نشان می دهند. اما ۳، ۶ – دی متیل – ۴ H – تیازولو [۲، ۱، ۴] تری آزین – ۴ – اون (11-3) جذب ماقزیم را در طول موج بالاتر یعنی ۲۹۸ nm نشان می دهد [29، 30، 31].



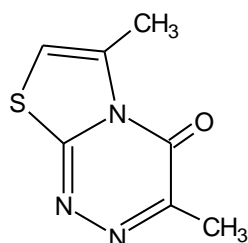
(9-3)

$\lambda_{\max} = 280 \text{ nm}$



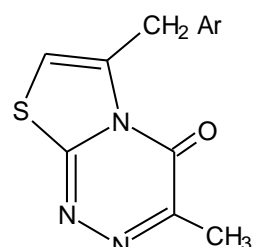
(10-3)

$\lambda_{\max} = 282 \text{ nm}$



(11-3)

$\lambda_{\max} = 298 \text{ nm}$



(5-3)

$\lambda_{\max} = 304 - 326 \text{ nm}$

طیف های UV ترکیبات سنتز شده در حلال متانول، کاملا شبیه طیف UV (۱۱-۳) بوده و جذب ماقزیم را در محدوده ۳۰۴ nm تا ۳۲۶ nm نشان می دهدند (جدول ۳-۲). بنابراین حلقوی شدن ۳-پروپارژیل تیو-۱،۲،۴-تری آزین-۵-اون (۳-۳) در حضور آریل یدیدهای (۴-۳) به وسیله کاتالیزگر بیس (تری فنیل فسفین) پالادیم (II) کلرید و کاتالیزگر کمکی یدید مس (I)، به طور ناحیه گزین مشتقات ۶-بنزیل تیازولو فسفین (۳-۵) را با بهره ای بالا تولید می کند.

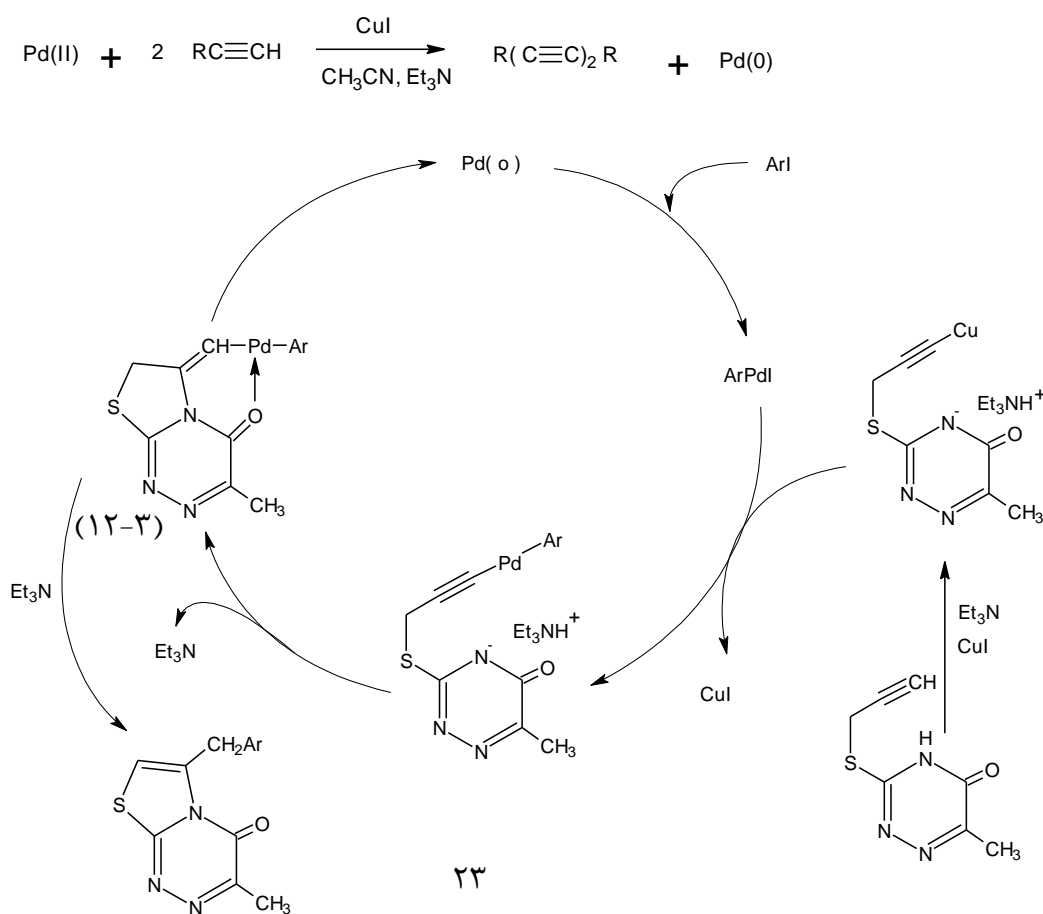
جدول (۳-۲) جذب ماقزیم مشتقات ۶-بنزیل تیازولو [۱،۲،۳] [۴،۲،۱] تری آزین های سنتز شده در حلال متانول

$\lambda_{\text{max}}(\text{nm})$	ساختار	ترکیب
۳۱۳		(۵-۳)a
۳۱۱		(۵-۳)b
۳۲۶		(۵-۳)c

۳۰۴		(Δ-۳)d
۳۰۴		(Δ-۳)e

۳-۳- مکانیسم واکنش

پالادیم صفر که از کاهش پالادیم (II) ایجاد می گردد، این واکنش را کاتالیز می کند. برای جلوگیری از اکسایش پالادیم صفر توسط اکسیژن هوا، واکنش ها در اتمسفر آرگون انجام می شوند. یدیدمس (I) به عنوان کاتالیزگر کمکی عمل می کند. طرح (۱-۳) مکانیسم پیشنهادی سنتز تیازولو [۲،۱،۴] [۳-۲] تری آزین ها را نشان می دهد.



استونیتریل به عنوان حلال و تری اتیل آمین نقش باز را دارد. پالادیم صفر تولید شده در محیط واکنش تداخل در پیوند آریل یدید را انجام داده و با تشکیل ArpdI به پالادیم (II) تبدیل می شود.

با قرار گرفتن آریل به جای هیدروژن استیلنی عمل تراکم صورت گرفته و با حمله N-⁴ حلقه تری آزین به پیوند سه گانه فرایند حلقوی شدن انجام می شود که در مرحله بعد مهاجرت پیوند π به داخل حلقه تیازول توسط باز صورت گرفته و سنتز کامل می گردد. جهت گیری بسته شدن حلقه و تشکیل انتخابی تیازولو [۲، ۳ - c] تری آزین که با افزایش N-⁴ به پیوند سه گانه صورت می گیرد، از طریق کئوردیناسیون بین اکسیژن و پالادیم در واسطه (۱۲-۳) توجیه می گردد.

وجودگروه های الکترون کشنده نظیر CN و COMe، Cl، NO₂ بر روی آریل یدید برای انجام واکنش ضروری به نظر می رسد. چرا که در صورت استفاده از آریل یدیدهای دارای گروه دهنده ی الکترون مانند پارااید و آنیزول محصل ایجاد نمی شود.

نتایج به دست آمده از این جهت قبل اهمیت است که این واکنش ها ساده بوده، شرایط آن ملایم و همچنین ناحیه گزین هستند.

۳ - ۴ - شواهد طیفی ترکیبات سنتز شده
۳ - ۴ - ۱ - شواهد طیفی ترکیب ۶ - (۲ - متیل - ۴ - نیتروبنزیل) - ۳ - متیل - ۴H - تیازولو [c - ۳، ۲] [۴، ۲، ۱] تری آزین - ۴ - اون (۵-۳)a

در طیف ¹HNMR ترکیب a(۵-۳) که در حلال DMSO دوتره گرفته شده است، پروتون های متیل تری آزین و آریل به صورت یکتاپی به ترتیب در ۲/۱۸ و ۲/۲۳ δ، پروتون های متیلن به صورت یکتاپی در ۴/۳۰ -

δ ، پروتون CH تیازول به صورت یکتایی در $\delta/97$ و پروتون های حلقه آریل در ناحیه آромاتیک به صورت چند تایی در $\delta/54 - 8/30$ با سطح زیر پیک سه پروتون دیده می شود (طیف شماره ۳).

در طیف IR این ترکیب که در قرص KBr گرفته شده است، جذب گروه کربونیل در 1620 cm^{-1} و جذب کشتی متقارن و نا متقارن گروه نیترو به ترتیب در 1350 و 1525 cm^{-1} ظاهر شده است (طیف شماره ۴). طیف UV این ترکیب نیز جذب ماکزیمم را در طول موج 313 nm نشان می دهد (طیف شماره ۵).

[c - ۲ - ۴ - ۳ - شواهد طیفی ترکیب ۶ - (۳ - نیتروبنزیل) - ۳ - متیل - ۴ H - تیازولو [۲، ۳ - ۴] تری آزین - ۴ - اون b (۵-۳)]

در طیف $^1\text{HNMR}$ ترکیب b (۵-۳) در حل DMSO دوتره، پروتون های متیل به صورت یکتایی در $\delta/23$ و پروتون های متیلن به صورت یکتایی در $\delta/31$ ، پروتون CH تیازول به صورت یکتایی در $\delta/40$ و پروتون های حلقه آریل در ناحیه آромاتیک در $\delta/50 - 8/50$ با سطح زیر پیک چهارپروتون دیده می شود (طیف شماره ۶).

در طیف IR ترکیب b (۵-۳) که در قرص KBr گرفته شده، جذب گروه کربونیل در 1610 cm^{-1} و جذب کشتی متقارن و نا متقارن گروه نیترو به ترتیب در 1350 و 1525 cm^{-1} ظاهر شده است (طیف شماره ۷). در طیف UV این ترکیب ماکزیمم طول موج در 311 nm مشاهده شد (طیف شماره ۸).

[c - ۳ - ۴ - ۳ - شواهد طیفی ترکیب ۶ - (۴ - کلرو - ۲ - نیتروبنزیل) - ۳ - متیل - ۴ H - تیازولو [۲، ۳ - ۴] تری آزین - ۴ - اون c (۵-۳)]

طیف $^1\text{HNMR}$ ترکیب c (۵-۳) در حل DMSO دوتره ، سه پروتون گروه متیل را به صورت یکتایی در $\delta/35$ ، پروتون های گروه متیلن را با سطح زیرپیک دو پروتون به صورت یکتایی در $\delta/28$ نشان می دهد.

همچنین پروتون CH تیازول به صورت یکتایی در δ ۷/۱۰ و پروتون های حلقه آریل با سطح زیر پیک سه پروتون در ناحیه ۸/۰۲ - ۷/۲۱ δ ظاهر شده است (طیف شماره ۹).

در طیف IR این ترکیب که در قرص KBr گرفته شده، جذب کربونیل در 1640 cm^{-1} و پیک های جذبی کشتی گروه نیترو در 1339 و 1522 cm^{-1} مشاهده شد (طیف شماره ۱۰).

همچنین طیف UV این ترکیب ماکزیمم طول موج را در 326 nm نشان می دهد (طیف شماره ۱۱).

۳ - ۴ - ۴ - شواهد طیفی ترکیب ۶ - (۴ - کلرو - ۳ - نیتروبنزیل) - ۳ - متیل - H - تیازولو [۵ - ۳] [۴، ۲، ۱] تری آزین - ۴ - اون d

در طیف $^1\text{H NMR}$ ترکیب d(۳-۵) که در حل DMSO دوتره گرفته شده است، سه پروتون گروه متیل به صورت یکتایی در δ ۲/۳۰، پروتون های گروه متیلن با سطح زیر پیک دو پروتون به صورت یکتایی در δ ۴/۱۸، پروتون CH تیازول به صورت یکتایی در δ ۷/۰۹ و پروتونهای حلقه آریل با سطح زیر پیک سه پروتون در ناحیه ۸/۲۰ - ۷/۲۵ δ ظاهر شده است (طیف شماره ۱۲).

در طیف IR ترکیب d(۵-۳) که در قرص KBr گرفته شده، جذب مربوط به گروه کربونیل در 1620 cm^{-1} و پیک های جذبی کشتی متقارن و نا متقارن گروه نیترو در 1350 و 1550 cm^{-1} دیده می شود (طیف شماره ۱۳).

طیف UV این ترکیب نیز ماکزیمم طول موج را در 304 nm نشان می دهد (طیف شماره ۱۴).

۳ - ۴ - ۵ - شواهد طیفی ترکیب ۶ - (۴ - استوکسی بنزیل) - ۳ - متیل - H - تیازولو [۴ - ۳] تری آزین - ۴ - اون e(۵-۳)

طیف $^1\text{H NMR}$ ترکیب e(۳-۵) در حل DMSO دوتره، سه پروتون گروه متیل را به صورت یکتایی در δ ۲/۳۵ و پروتون های متیل متصل به گروه کربونیل در حلقه آریل را به صورت یکتایی در δ ۷/۳۰ و پروتون های

گروه متیلن را با سطح زیر پیک دو پروتون به صورت یکتایی در $\delta = 4/25$ نشان داده و نیز پروتون CH تیازول به صورت یکتایی در $\delta = 7/10$ و پروتون های حلقه آریل با سطح زیر پیک چهارپروتون در ناحیه $\delta = 8/09 - 8/20$ دیده می شود (طیف شماره ۱۵).

در طیف IR این ترکیب (۳-۵) که در قرص KBr گرفته شده است، جذب مربوط به گروه کربونیل روی حلقه آریل در 1620 cm^{-1} و جذب گروه کربونیل روی حلقه تری آزین در 1650 cm^{-1} مشاهده شد (طیف شماره ۱۶).

طیف UV این ترکیب نیز ماقزیم طول موج را در 304 nm نشان می دهد (طیف شماره ۱۷).

بخش تجربی

۴-۱- روش تهیه آریل یدیدها

مخلوطی از آریل آمین ($0/036\text{ mol}$)، اسید سولفوریک غلیظ ($4/2\text{ ml}$) و آب (30 ml) به مدت یک ساعت در دمای اتاق هم زده شد. مخلوط تا دمای 0°C سرد شد و به آرامی (قطره قطره) به آن محلولی از نیتریت سدیم ($0/036\text{ mol}$) در آب (8 ml) اضافه گردید. (دما نباید بیش از 10°C افزایش یابد). مخلوط حاصل به آرامی به محلولی از پتانسیم یدید ($0/06\text{ mol}$) در آب (30 ml) افزوده شد و هم زدن به مدت یک ساعت دیگر در دمای اتاق ادامه یافت. رسوب حاصل صاف و در حال مناسب متبلور گردید. خواص فیزیکی و بهره‌ی واکنش تعدادی از آریل یدیدهای سنتز شده در جدول (۱-۴) آمده است.

جدول (۱-۴) خواص فیزیکی و بهره‌ی واکنش آریل یدیدها

آریل یدید	دما نسبت به آریل یدید (%)	دما نسبت به آریل یدید ($^{\circ}\text{C}$)	بهره‌ی واکنش (%)	حال تبلور
۲- یدونیتروبنزن	۵۱-۵۳	۸۰		متانول
۴- یدونیتروبنزن	۱۷۶-۱۷۷	۸۲		اتیل استات
۴- کلرو-۲- نیتروبنزن	۵۳-۵۶	۹۰		اتانول
۴- کلرو-۳- نیتروبنزن	۶۳-۶۵	۸۷		اتانول

۴-۲- روش تهیه بیس (تری فنیل فسفین) پالادیم (II) کلرید

پالادیم (II) کلرید (1 mmol) در آب (50 ml) به مدت ۲۰ دقیقه در دمای 50°C هم زده شد. تری فنیل فسفین (2 mmol) در اتانول مطلق (15 ml) با گرما حل و به آرامی (قطره قطره) به مخلوط در حال هم زدن اضافه گردید. عمل هم زدن به مدت ۳۰ دقیقه در دمای اتاق ادامه یافت. رسوب به دست آمده صاف و در کلروفرم متبلور گردید. دمای ذوب محصول 260°C و بهره‌ی واکنش 86% می باشد.

۴-۳- روش تهیه ۶- متیل -۱، ۲، ۴- تری آزین -۵- اون -۳- تیون (۲-۳)

مخلوطی از تیوسی کاربازید ($0/1\text{ mol}$) و سدیم پیروات ($0/1\text{ mol}$) در آب (100 ml) به مدت یک ساعت رفلکس شد. محلول حاصل پس از سردشدن با اسید هیدروکلریک 10% اسیدی شد. رسوب به دست آمده پس از صاف کردن در آب متبلور گردید. دمای ذوب محصول 220°C و بهره‌ی واکنش 89% می باشد.

۴-۳-۳ - روش تهیه ۶-متیل - ۳ - پروپارژیل تیو - ۱، ۲، ۴ - تری آزین - ۵ - اون (۳-۳)

به محلول سدیم (**0/013 mol**) در متانول (30ml)، ترکیب **6** - متیل - **1، 2، 4** - تری آزین - **5** - اون - **3** - تیون (**0/01 mol**) افزوده شد. پروپارژیل برمید (**0/015 mol**) به آرامی (قطره قطره) در دمای اتاق به مخلوط واکنش اضافه گردید و هم زدن به مدت **4** ساعت دیگر ادامه یافت. پس از آسیدی کردن مخلوط واکنش با استیک اسید **10%**، رسوب حاصل صاف و با آب شستشو داده شد و سپس در متانول متبلور گردید. دمای ذوب محصول $180 - 181^{\circ}\text{C}$ و بهره ی واکنش **87%** می باشد.

^1H NMR, δ (d_6 -DMSO), **2/30**(s, 3H, CH₃), **3/1**(s, 1H, CH), **3/8**(s, 2H, CH₂), **13/8**(s, 1H, NH IR, ν (KBr disc): **1620, 2100, 3200** cm⁻¹.

۴-۳-۴ - روش تهیه مشتقات ۶-بنزیل - ۴H - تیازولو [c - ۲، ۳] [۴، ۲، ۱] تری آزین - ۴ - اون

(۴-۳)

مخلوطی از آریل یدید (**0/75 mmol**), بیس (تری فنیل فسفین) پالادیم (II) کلرید (I) و یدید مس (I) در استونیتریل (**6ml**) و تری اتیل آمین (**3mmol**) در جو آرگون خشک به مدت **15min** هم زده شد. **6** - متیل - **3** - پروپارژیل تیو - **1، 2، 4** - تری آزین - **5** - اون (**1/275mmol**) به مخلوط واکنش اضافه شد و هم زدن در دمای اتاق به مدت **12** ساعت دیگر ادامه یافت. رسوب ایجاد شده صاف و با آب شستشو داده شد و سپس در حلal مناسب متبلور گردید. دمای ذوب، بهره ی واکنش، حلal تبلور و مشخصات طیفی ترکیبات سنتز شده به صورت زیر می باشد:

۴-۳-۴-۱ : (5-3)a

حلال تبلور: اتانول	بهره ی واکنش: %93	دمای ذوب: 255 °C
^1H NMR, δ (d_6 -DMSO), 2/18 (s, 3H, CH ₃), 2/23 (s, 3H, CH ₃), 4/30 (s, 2H, CH ₂), 6/97 (s, 1H, CH, تیازول), 7/54-8/30 (m, 3H, ArH); IR, $\bar{\nu}$ (KBr disc): 1620, 1525, 1350 cm ⁻¹ ; UV (CH ₃ OH), λ_{max} 313 nm .		

۴-۳-۴-۲ : (5-3)b

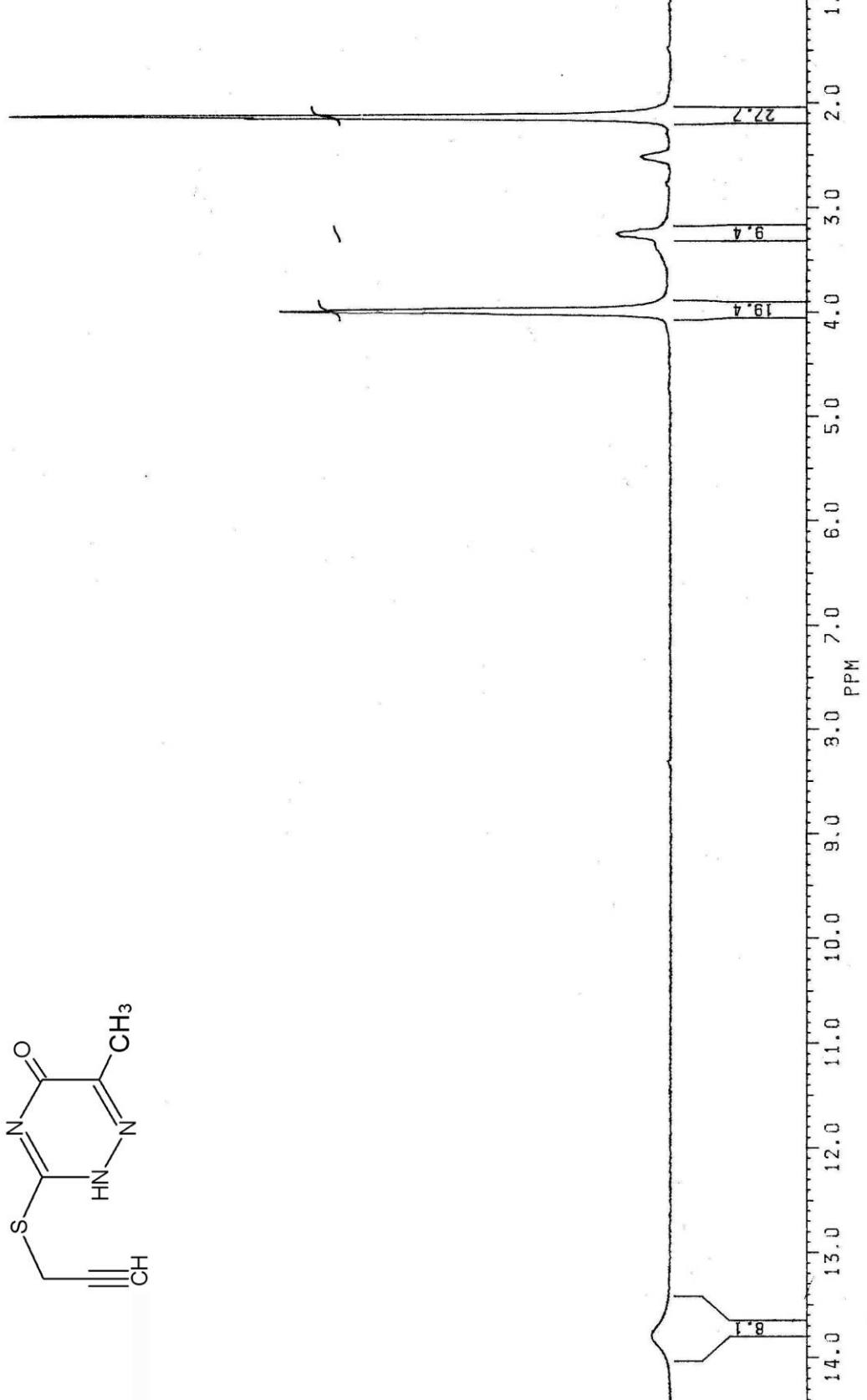
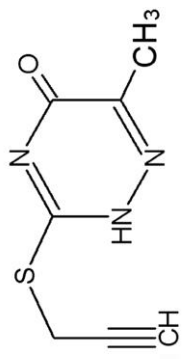
حلال تبلور: متانول	بهره ی واکنش: %85	دمای ذوب: 262 °C
^1H NMR, δ (d_6 -DMSO), 2/23 (s, 3H, CH ₃), 4/31 (s, 2H, CH ₂), 7/04 (s, 1H, CH, تیازول), 7/50-8/50 (m, 4H, ArH); IR, ν (KBr disc): 1610, 1350, 1525 cm ⁻¹ ; UV(CH ₃ OH), λ_{max} 311 nm .		

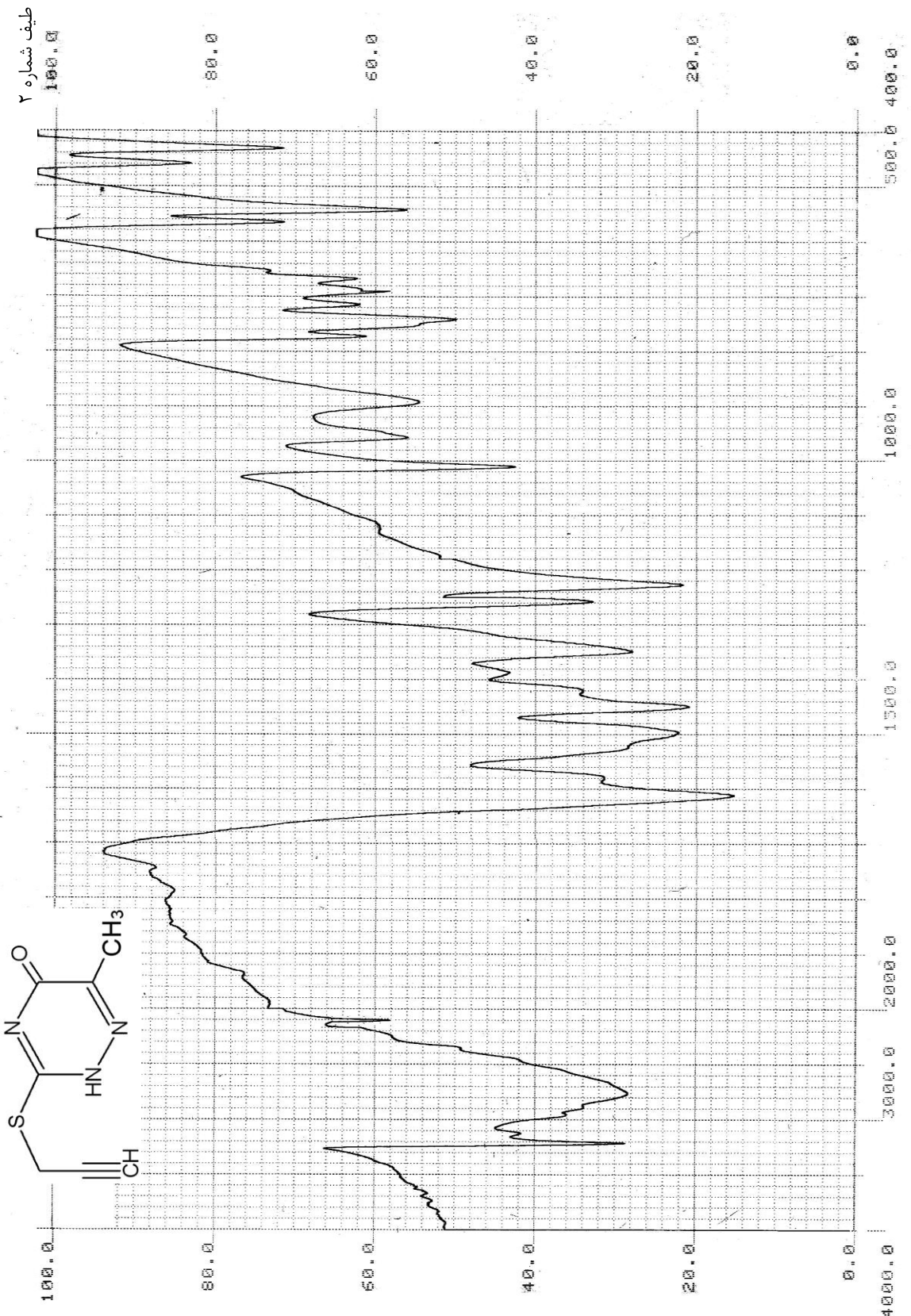
۴-۳-۴-۳ : (5-3)c

اون

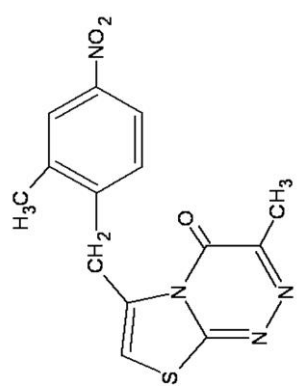
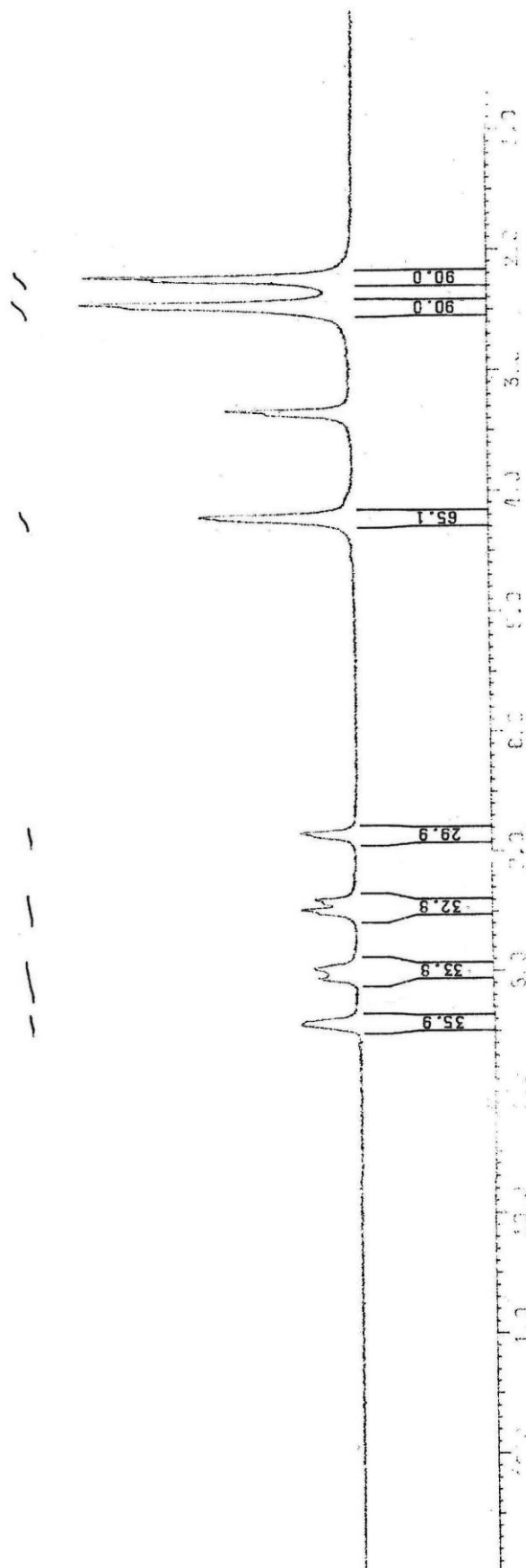
حال: دى مىتىل سولفوكسىد دوتىرە

١
٢.٧
٣.٤
٤.٤
٥.٤
٦.٣
٧.٣
٨.١
٩.٣
١٠.٣
١١.٣
١٢.٣
١٣.٣
١٤.٣



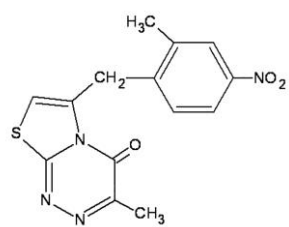
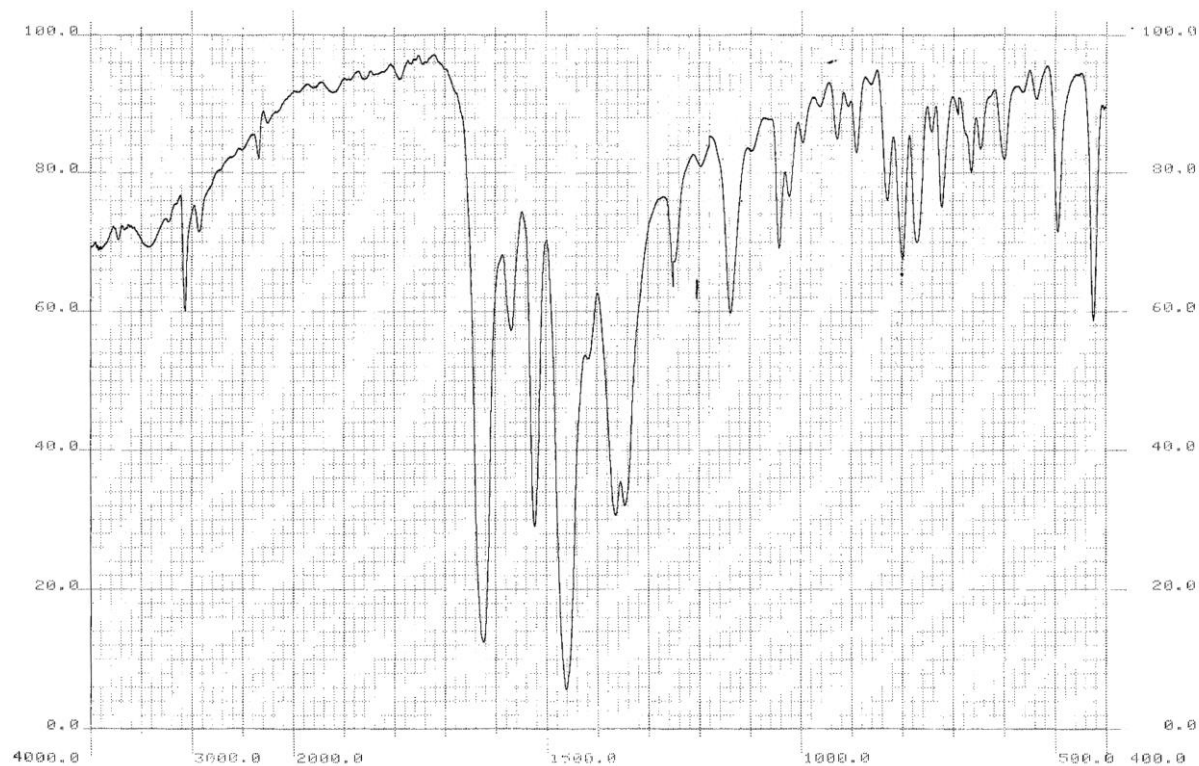


حلل: دی متیل سولفوكسید دوتره

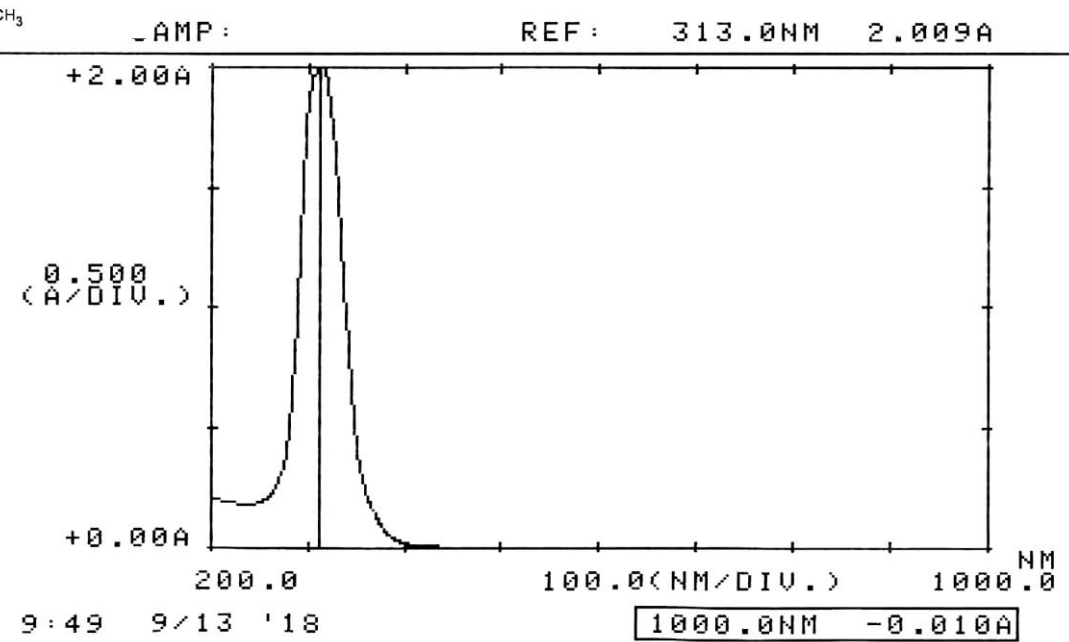


طیف شماره ۳

طیف شماره ۴

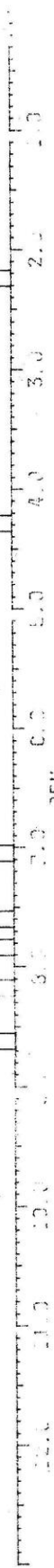


طیف شماره ۵

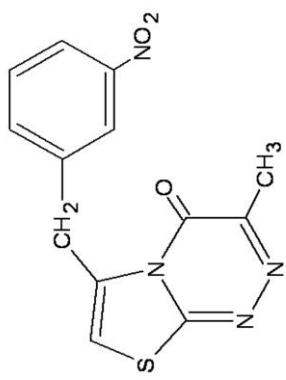


۵۰

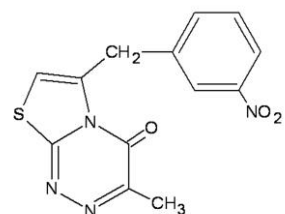
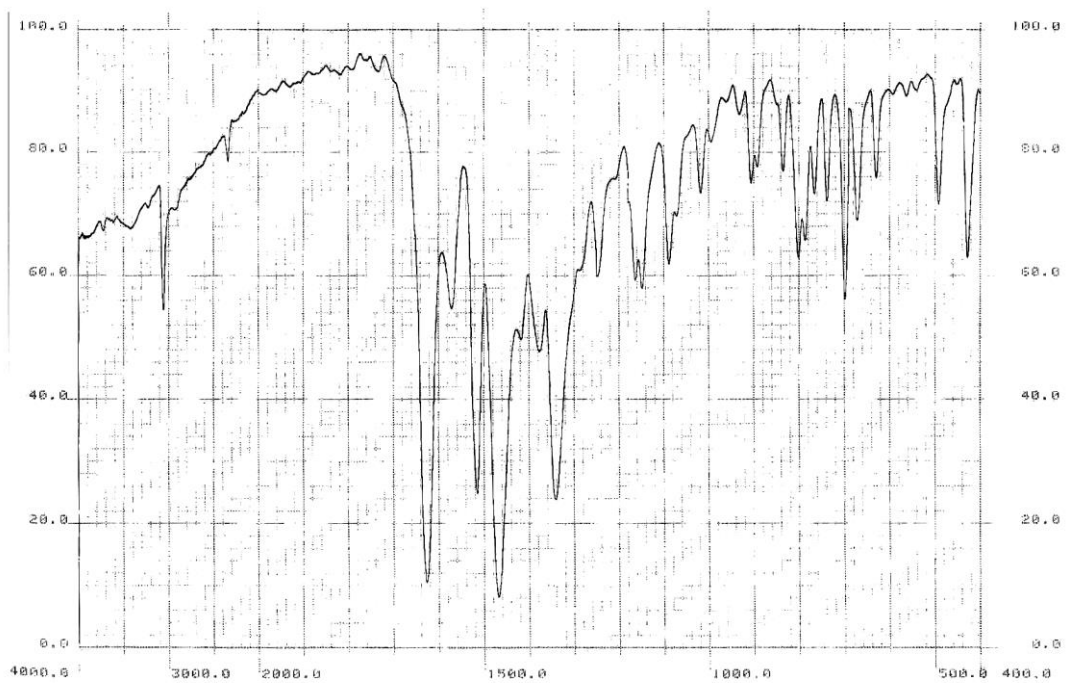
حلل: دی متیل سولفونکسید دو ترہ



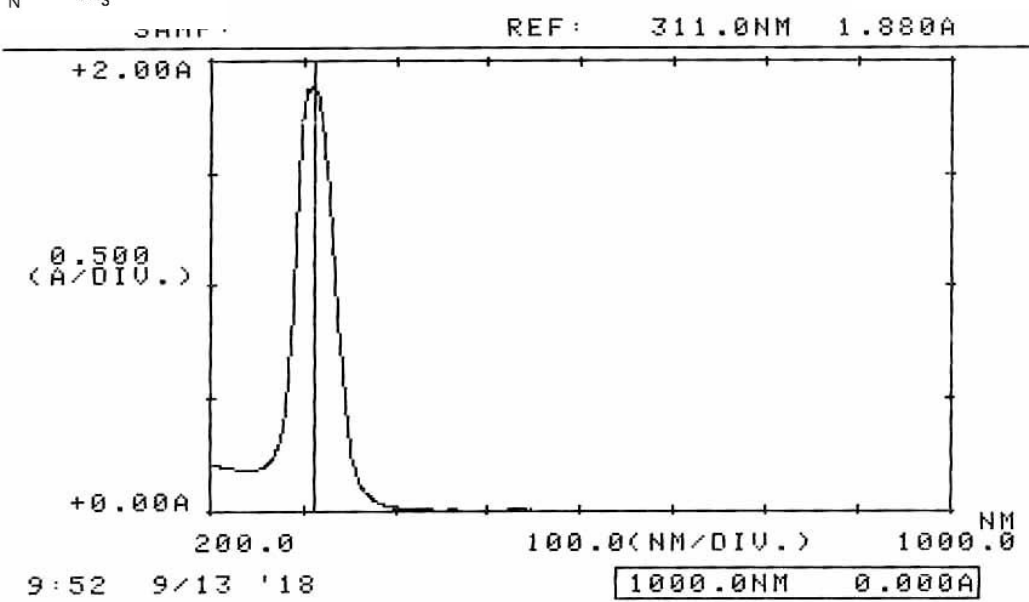
طیف شماره ۶



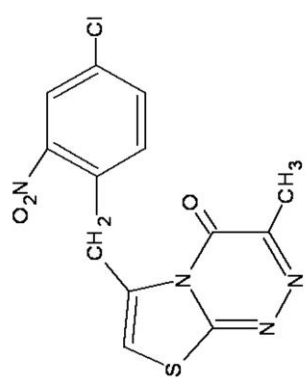
طیف شماره ۷



طیف شماره ۸

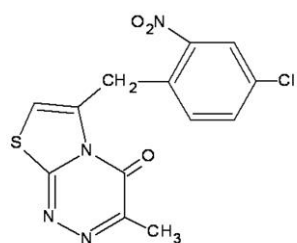
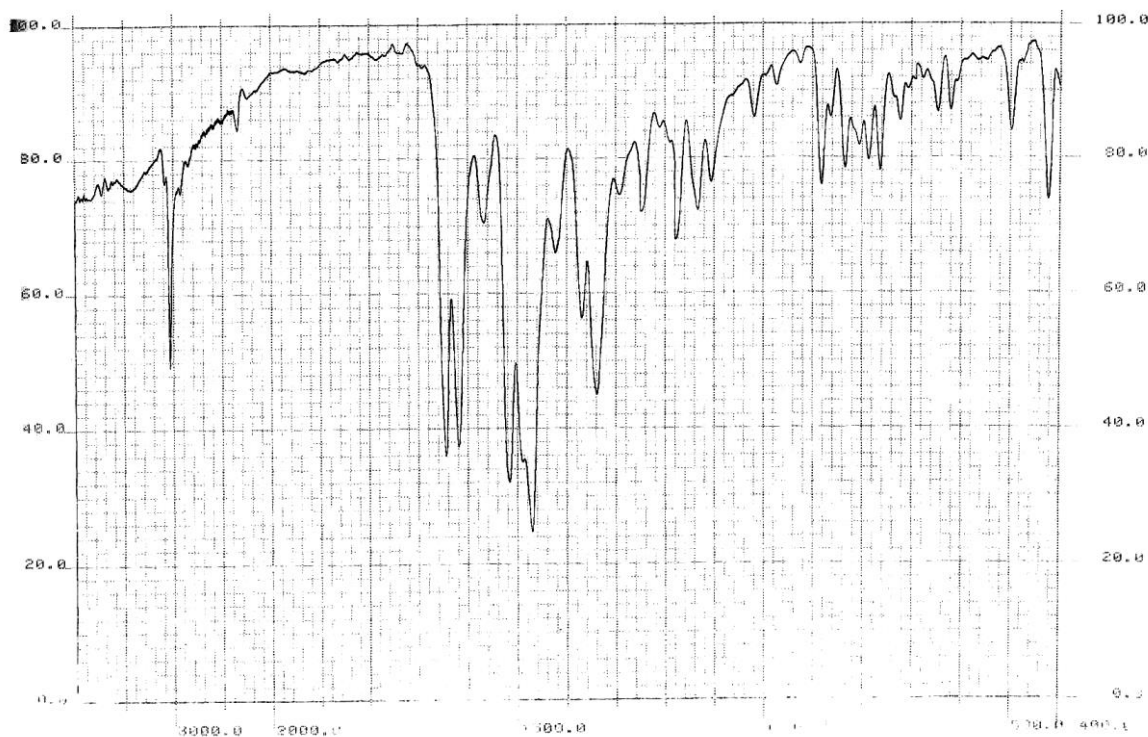


حلل: دى متيل سولفوكسيد دوتروه

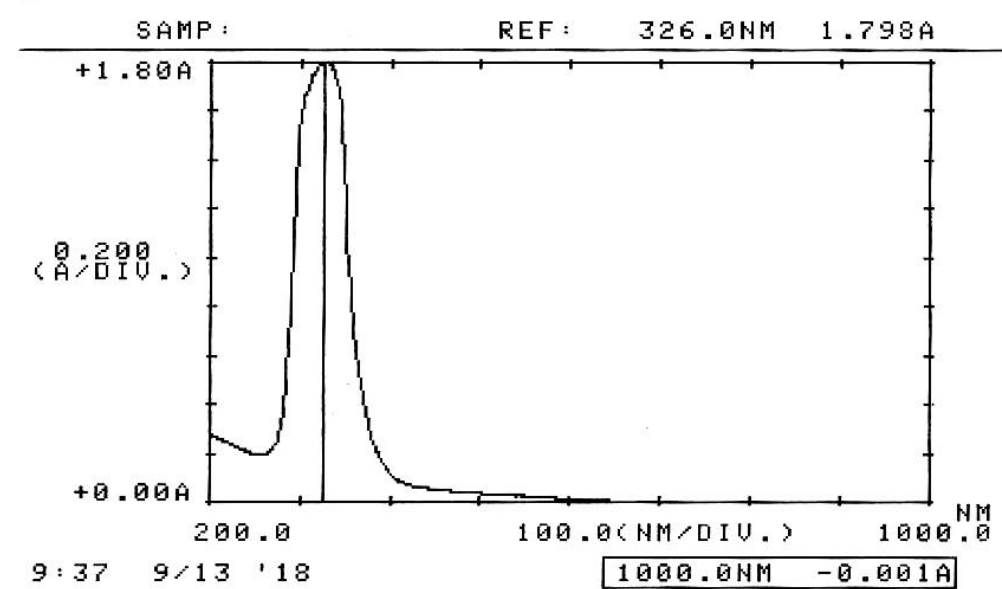


طيف شماره ٩

طيف شماره ١٠

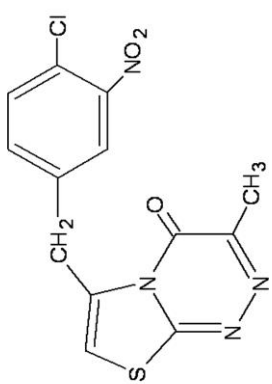
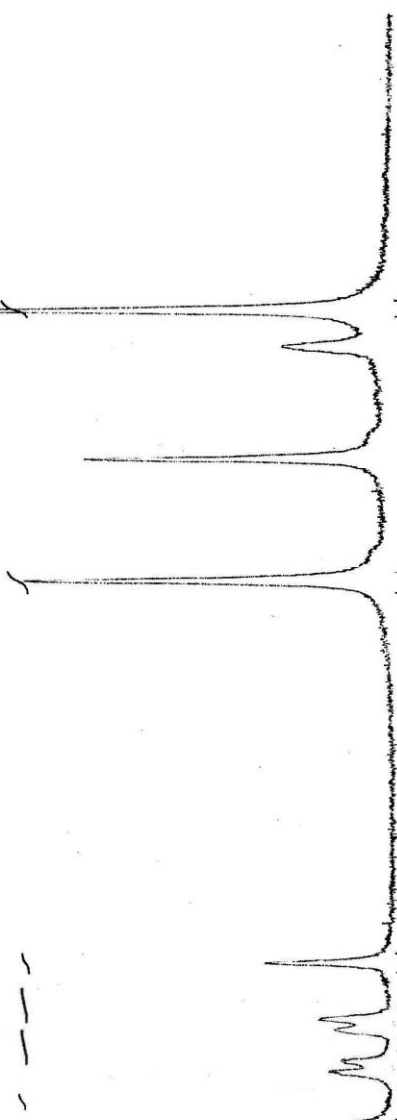


طيف شماره ١١



٥٤

حلل: دی متیل سولفوکسید دوتره

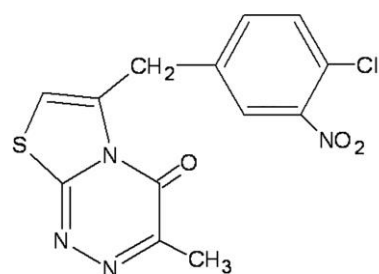
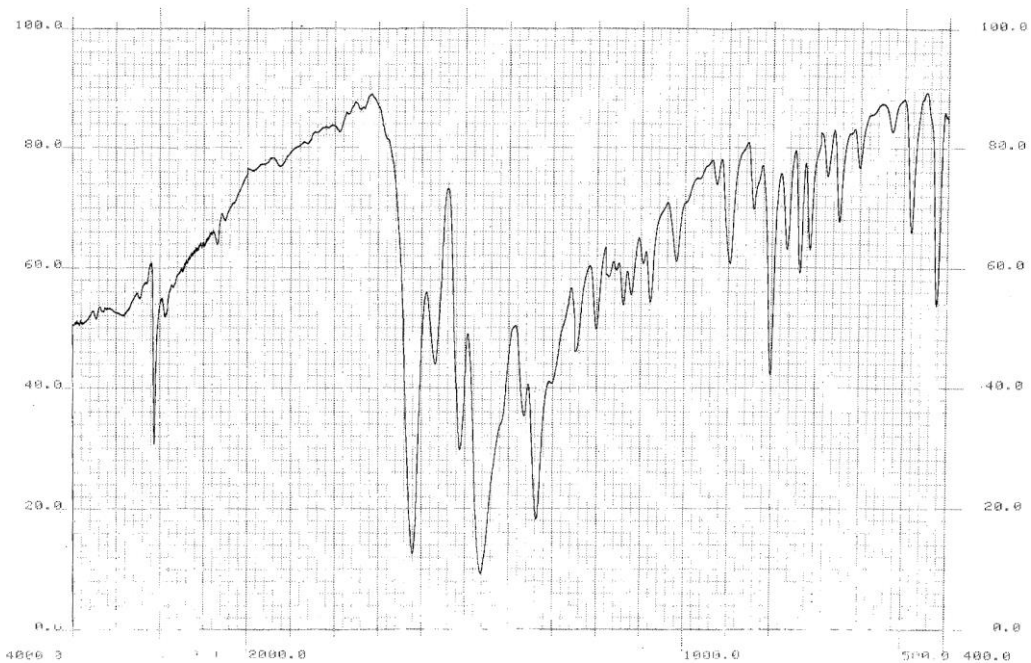


طیف شماره ۱۲

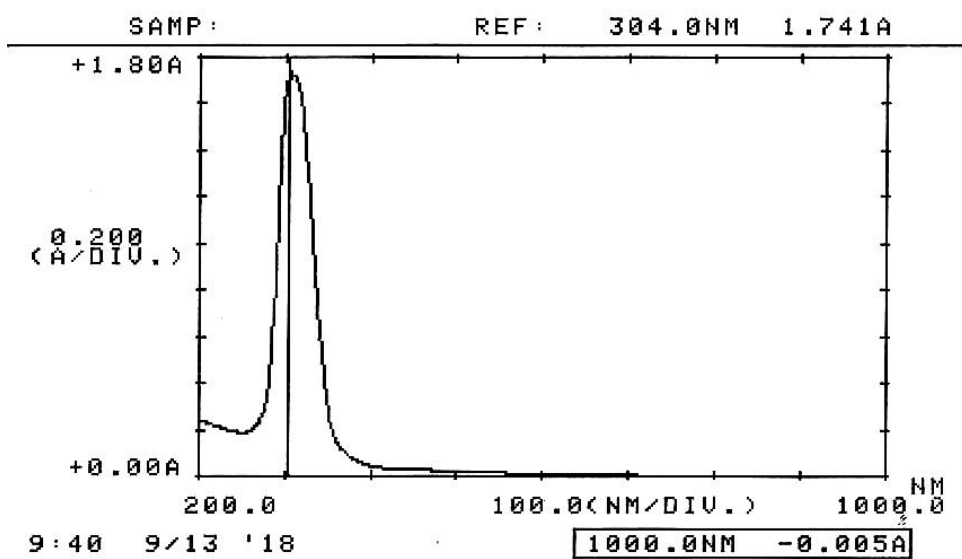
۱۳C

۱H

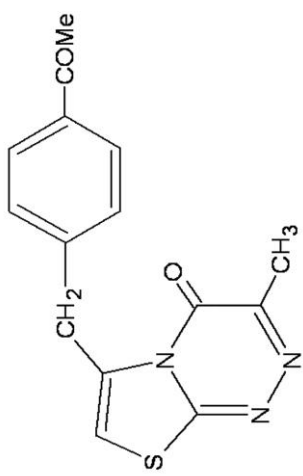
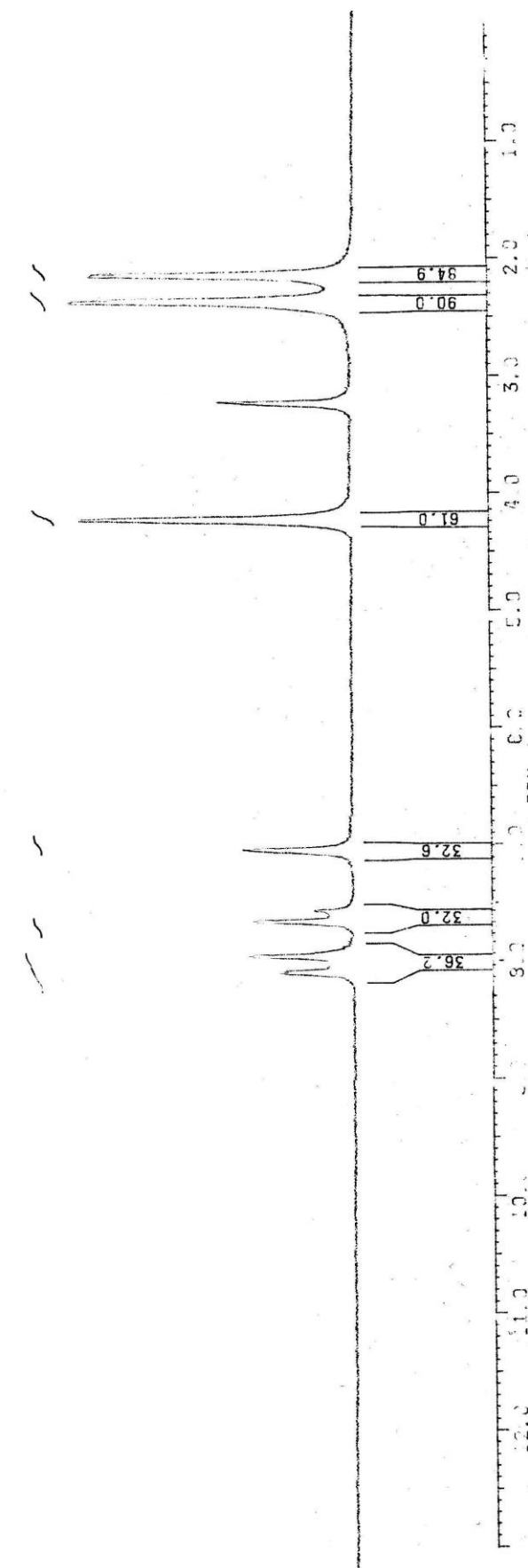
طیف شماره ۱۳



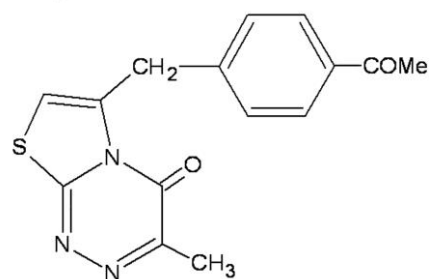
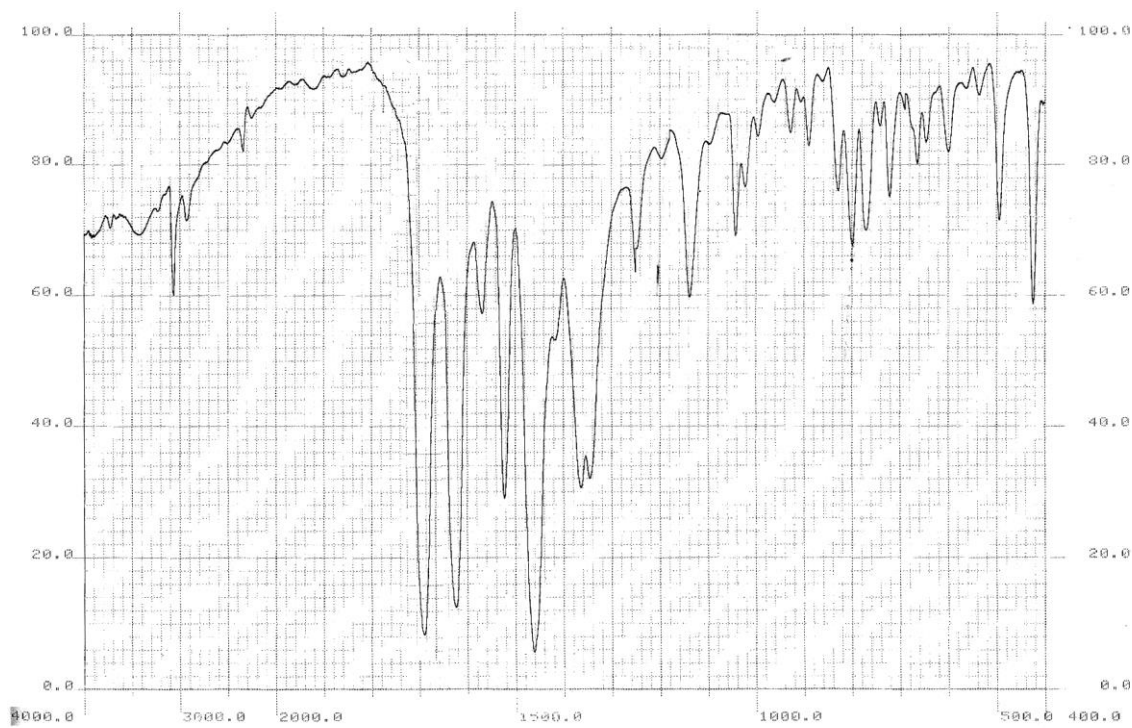
طیف شماره ۱۴



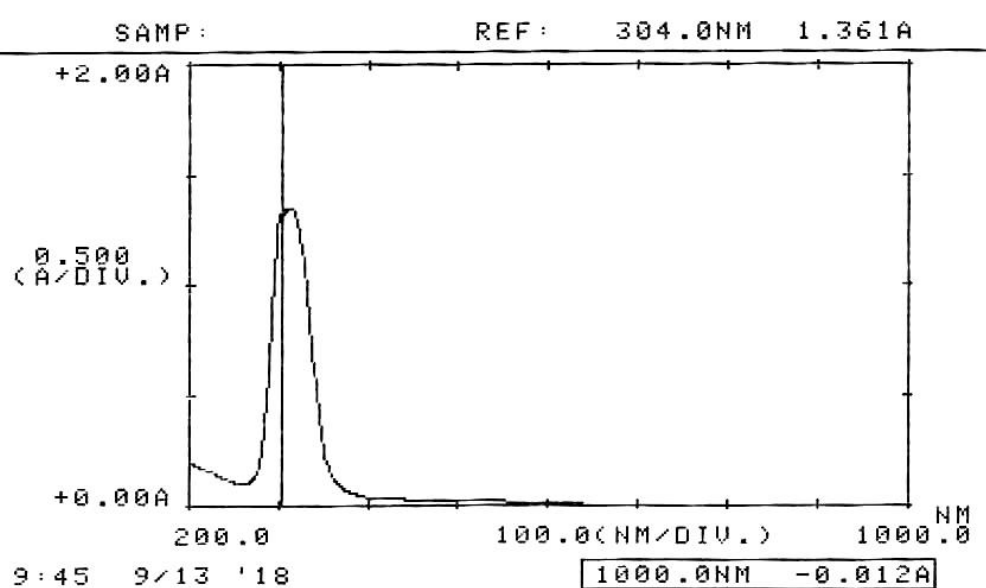
حلل: دی متیل سولفوكسید دوتره



طيف شماره ١٦



طيف شماره ١٧



مراجع

1. J. Mohan, *Indian j. chem.*, **1990**, 29B(7), 645.
2. L. Donald, E. Paul, *U. S. Patent 3.*, **1972**, 76, 641.
3. A. K. Mansour, S. B. Awad, S. Antoun, *Z. Naturforsch.*, **1975**, 140, 84.
4. J. Nyritrai, S. Bekassy and K. Lempert, *Chem. Abs.*, **1968**, 68, 49567h.
5. G. Horngak, G. Doleschall, J. Nyritrai , K. Lempert, *Chem. Abs.*, **1968**, 69, 96679b.
6. G. Doleschall, G. Horngak, L. Lang, K. Lempert and K. Zauer, *Chem. Abs.*, **1969**, 70, 4063r.
7. D. L. Trepanier and P. E. Krieger, *J. Heterocycl. Chem.*, **1970**, 7, 1231.
8. D. L. Trepanier and P. E. Krieger, *J. Heterocycl.Chem.*, **1971**, 8, 621.
9. E. A. Ibrahim, S. A. Schamsel Dine, F. S. G. Soliman, I. M. Labouta, *Chem. Abs.*, **1980**, 92, 76459b.
10. M. Mizutani and Y. Sanemitsu, *J. Org. Chem.*, **1980**, 49, 4585.
11. M. I. Ali, A. M. Abd- Elfattah, H. A. Hammouda, S. M. Hussein, *Chem. Abs.*, **1981**, 93, 43259h.
12. Y. V. Svetkin, A. N. Minilibaeva, A. G. Mansurova, *Chem. Abs.*, **1981**, 99, 339872u.
13. D. L. Trepanier and P. E. Krieger, *J. Heterocycl.Chem.*, **1981**, 9, 1385.
14. M. Mizutani, Y. Sanemitsu, Y. Tamaru and Z.-I. Yoshida, *Tetrahedron Lett.*, **1985**, 26, 1237.
15. M. Mizutani, Y. Sanemitsu, Y. Tamaru and Z.-I. Yoshida, *Tetrahedron.*, **1986**, 42, 305.
16. M. M. Heravi and M. Shafaie, *Indian J. Heterocycl. Chem.*, **1995**, 5, 79.
17. M. M. Heravi and M. Bakavoli, *J. Chem. Res.*, **1995**, 480.
18. V. N. Elokhina, A. S. Nakhmanovich, T. N. Komaroua, *Chem Abs.*, **1997**, 126, 277448s.
19. K. Sonogashira, Y. Tohda, N. Hagihara, *Tetrahedron Lett.*, **1975**, 16, 4467.
20. R. Chinchila and C. Najera, *Chem. Rev.*, **2007**, 107, 874.
21. A. Coelho, E. Sotelo, H. Noroa, O. M. Peeters, N. Blaton, E. Ravina, *Tetrahedron*, **2004**, 60, 12177.
22. K. Cherry, J. Thibonnet, A. Duchene, J. Parrain, M. Abarbri, *Tetrahedron Lett.*, **2004**, 45, 2063.
23. S. E. Pearson, S. Nandan, *Synthesis*, **2005**, 2503.
24. C. S. Cho, *J. Organomet. Chem.*, **2005**, 690, 4094.
25. S. Venkatarana, K. D. Barange, M. Pal, *Tetrahedron Lett.*, **2006**, 47, 7322 .
26. Z. Liu, D. Li, Sh. Li, D. Bai, *Tetrahedron Lett.*, **2007**, 48, 1931.
27. C. Nyffenegger, G. Fournet and B. Josef, *Tetrahedron Lett.*, **2007**, 48, 5069.
28. J. Daunis, Y. Guindo, R. Jacquier and P. Villefont, *Bull. Soc. Chim. Fr.*, **1972**, 1511.
29. M. Heravi, *Iran. J. Chem and Chem. Eng.*,**1992**, 11, 8.
30. (a) M. M. Heravi, M. M. Mojtabaei and S. M. Bolourtchian, *Indian J. Chem.*, **1998**, 37B, 590;
(b) Y. S. Beheshtiha, H. A. oskooie and M. Salarkia, *Indian J. Chem.*, **1998**, 37B, 694.
31. C. F. H. Allen, H. R. Beilfuss, D. M. Burness, *J. Org. Chem.*, **1959**, 24, 779.